

Московский государственный университет им. М.В. Ломоносова

Научно-образовательный центр по нанотехнологиям

межфакультетский курс лекций

«Фундаментальные основы нанотехнологий»

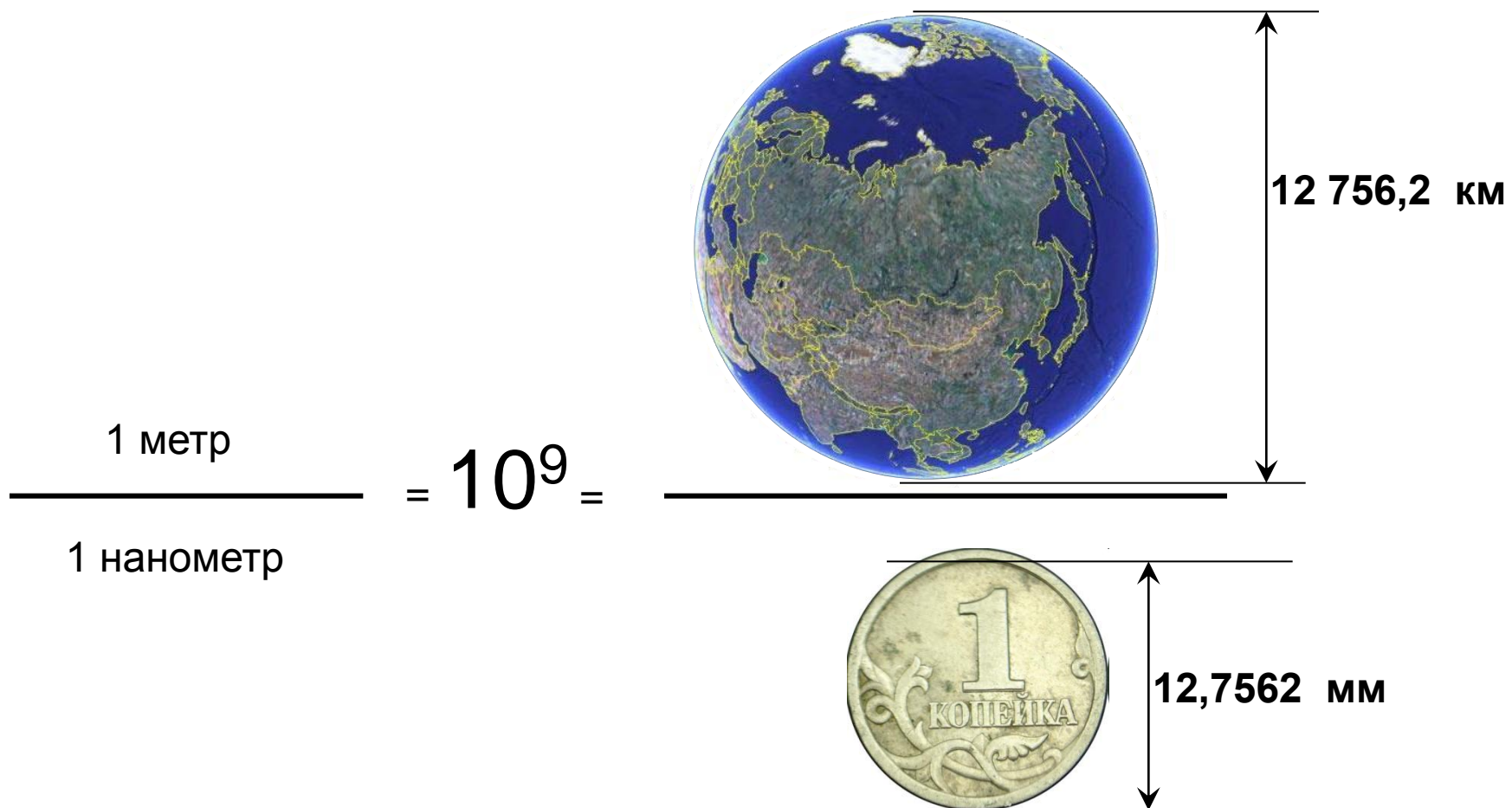
Лекция 1: Особенности физических взаимодействий на наномасштабах.

Образцов Александр Николаевич

профессор, Физический факультет МГУ

«Если при уменьшении объема какого-либо вещества по одной, двум или трем координатам до размеров нанометрового масштаба возникает новое качество, или это качество возникает в композиции из таких объектов, то эти образования следует отнести к наноматериалам, а технологии их получения и дальнейшую работу с ними - к нанотехнологиям.»

Ж.И. Алферов. «Микросистемная техника» №8, 2003, стр. 3 – 13



«Если при уменьшении объема какого-либо вещества по одной, двум или трем координатам до размеров нанометрового масштаба возникает новое качество, или это качество возникает в композиции из таких объектов, то эти образования следует отнести к наноматериалам, а технологии их получения и дальнейшую работу с ними - к нанотехнологиям.»

Ж.И. Алферов. «Микросистемная техника» №8, 2003, стр. 3 – 13

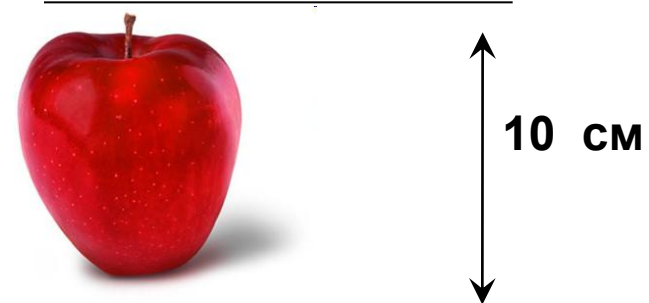
Линейный размер структурных единиц наноматериалов изменяется в пределах примерно от 1 до 1000 атомных (молекулярных) слоев.

Объем – от 10 до 10^6 атомов (молекул).

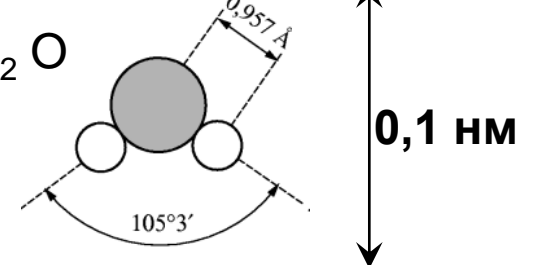
1 метр

$= 10^9 =$

1 нанометр



H_2O



Отнесение к нанотехнологиям (наноматериалам, нанонаукам) отражает пространственный масштаб рассматриваемых явлений, процессов, структурированности (неоднородности) вещества.

$$10^6 \text{ м} = 1 \text{ Мм}; 10^9 \text{ м} = 1 \text{ Гм}; 10^{12} \text{ м} = 1 \text{ Тм}; 10^{15} \text{ м} = 1 \text{ Пм}; 10^{18} \text{ м} = 1 \text{ Эм};$$

$$10^3 \text{ м} = 1 \text{ км}$$

$$1 \text{ м}$$

$$10^{-1} \text{ м} = 1 \text{ дм}$$

$$10^{-2} \text{ м} = 1 \text{ см}$$

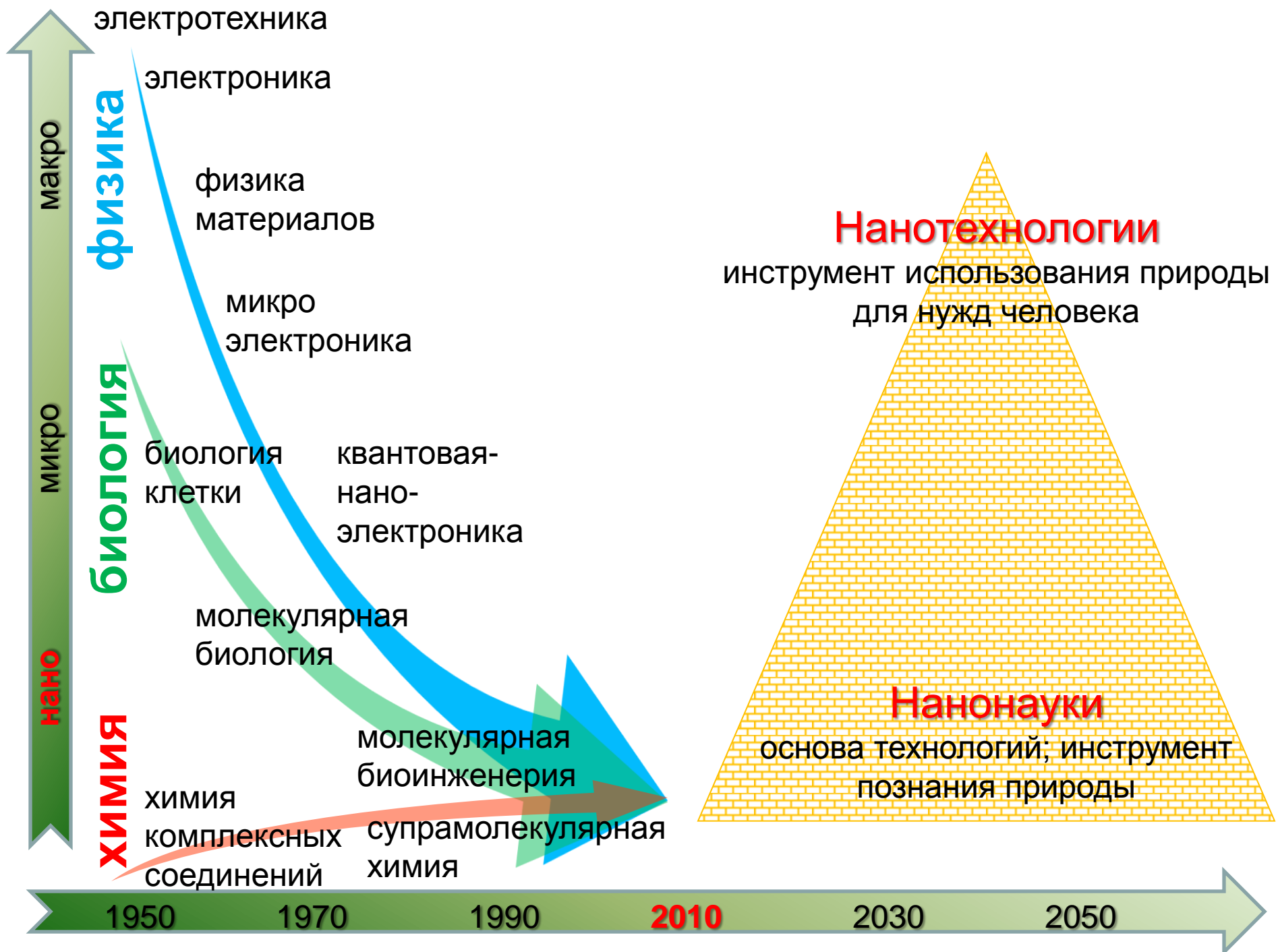
$$10^{-3} \text{ м} = 1 \text{ мм}$$

$$10^{-6} \text{ м} = 1 \text{ мкм}$$

$$10^{-9} \text{ м} = 1 \text{ нм}$$

$$10^{-21} \text{ м} = 1 \text{ зм}; 10^{-18} \text{ м} = 1 \text{ ам}; 10^{-15} \text{ м} = 1 \text{ фм}; 10^{-12} \text{ м} = 1 \text{ пм}$$

Отнесение к нанотехнологиям (наноматериалам, нанонаукам) подразумевает наличие качественных особенностей в закономерностях, определяющих протекание явлений и процессов и отсутствующих при других характерных масштабах.



Особенности физических взаимодействий на наномасштабах

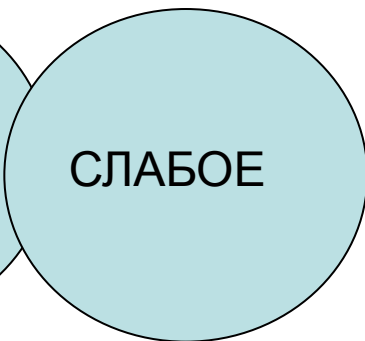
СИЛЬНОЕ

СЛАБОЕ

ЭЛЕКТРО-
МАГНИТНОЕ

ГРАВИТА-
ЦИОННОЕ

Особенности физических взаимодействий на наномасштабах



Особенности физических взаимодействий на наномасштабах



ЭЛЕКТРОСТАТИКА

$$F = k \cdot \frac{q_1 \cdot q_2}{R^2}$$

$$k = \frac{1}{4\pi\varepsilon_0\varepsilon}$$

$$\varepsilon_0 = 8,854187817 \times 10^{-12} \frac{K\lambda^2}{h \cdot m^2}$$

$$F_E = q_2 E$$

$$E = k \cdot \frac{q_1}{R^2}$$

ГРАВИТАЦИЯ

$$F = G \cdot \frac{m_1 \cdot m_2}{R^2}$$

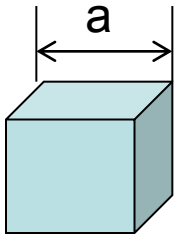
$$G = -6,673 \times 10^{-11} \frac{m^3}{kg \cdot m^2}$$

$$F_T = mg$$

$$g = G \frac{M_3}{R_3^2} = 9,8 \frac{m}{s^2}$$

Роль объема и поверхности в физических свойствах наноразмерных объектов.

$$F_T = mg$$



$$a=10 \text{ нм} = 10^{-8} \text{ м}$$

$$V=a^3=10^{-24} \text{ м}^3$$

$$m=\rho V = 7874 \text{ кг/м}^3 \cdot 10^{-24} \text{ м}^3 = 7,874 \times 10^{-21} \text{ кг}$$

$$F_T \approx 8 \times 10^{-20} H$$

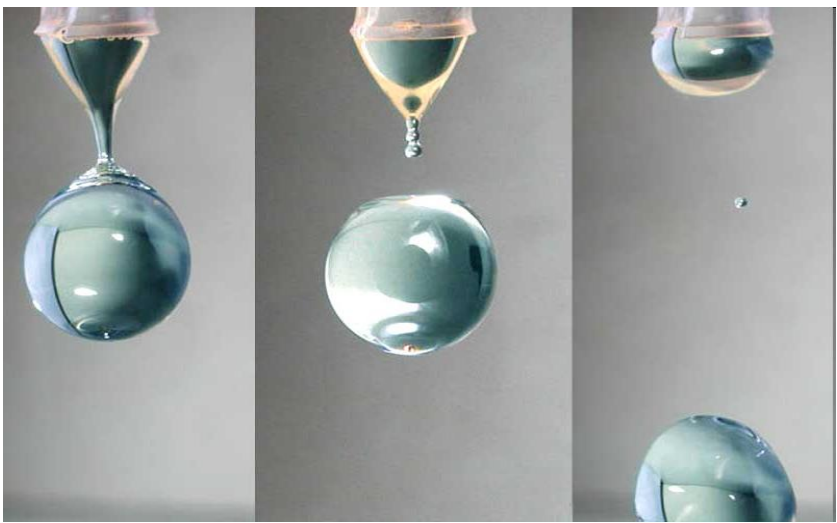
$$F_E = q_2 E \quad q_2 = e = 1,602217646 \times 10^{-19} \text{ Кл}$$

$$E \approx \frac{8 \times 10^{-20}}{1,6 \times 10^{-19}} = 0,5 \frac{B}{M}$$

В большинстве случаев гравитационное взаимодействие пренебрежимо мало по сравнению с электромагнитным.



$$E \approx \frac{1,5}{0,05} = 30 \frac{B}{M}$$



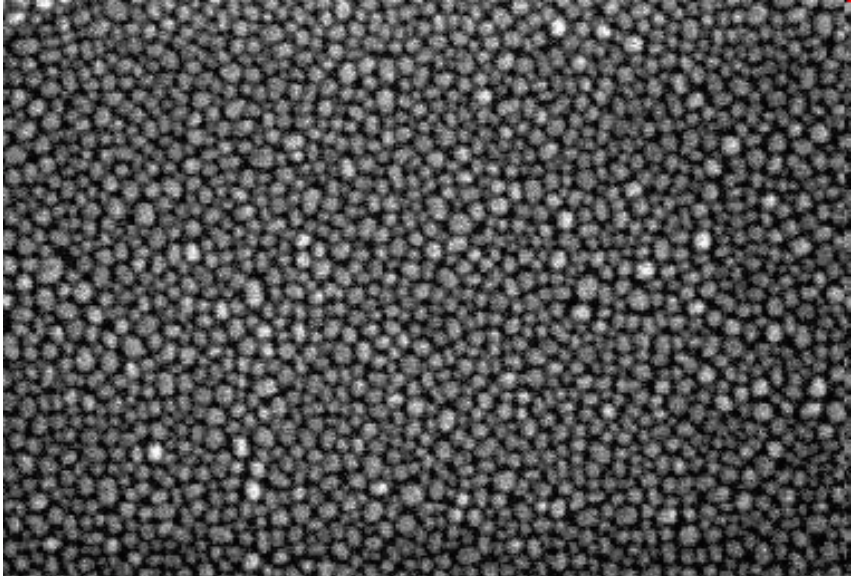
$$\Gamma = \frac{\text{Гравитация}}{\text{Пов.натяжение}} = \frac{\rho g (4\pi r^3 / 3)}{\sigma (2\pi r)} = \frac{2\rho gr^2}{3\sigma}$$

$$\rho = 10^3 \text{ кг/м}^3, \sigma = 78 \times 10^{-3} \frac{H}{m}$$

$$r = 1m \Rightarrow \Gamma \approx 8,5 \times 10^4$$

$$r = 1mm \Rightarrow \Gamma \approx 8,5 \times 10^{-2}$$

$$r = 1nm \Rightarrow \Gamma \approx 8,5 \times 10^{-14}$$

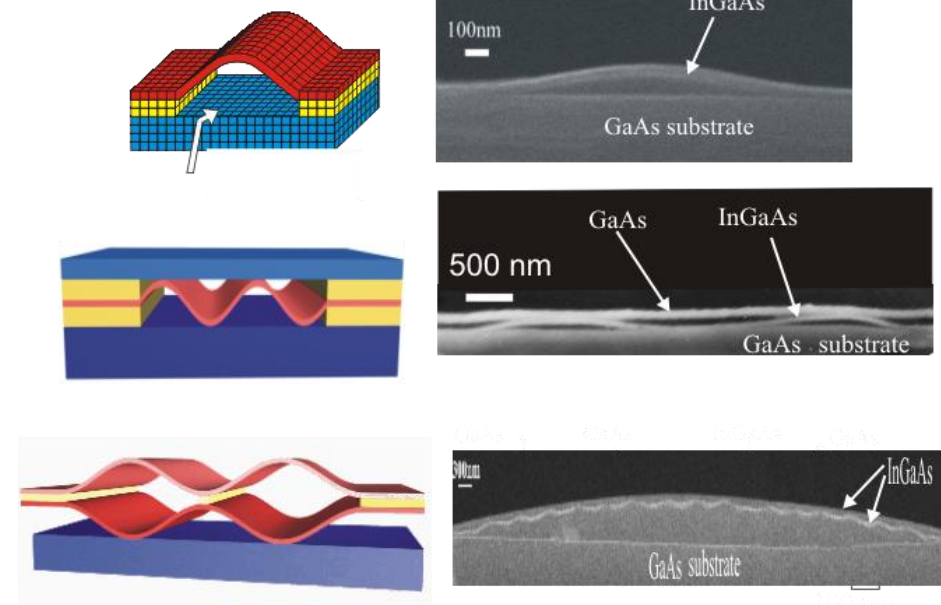
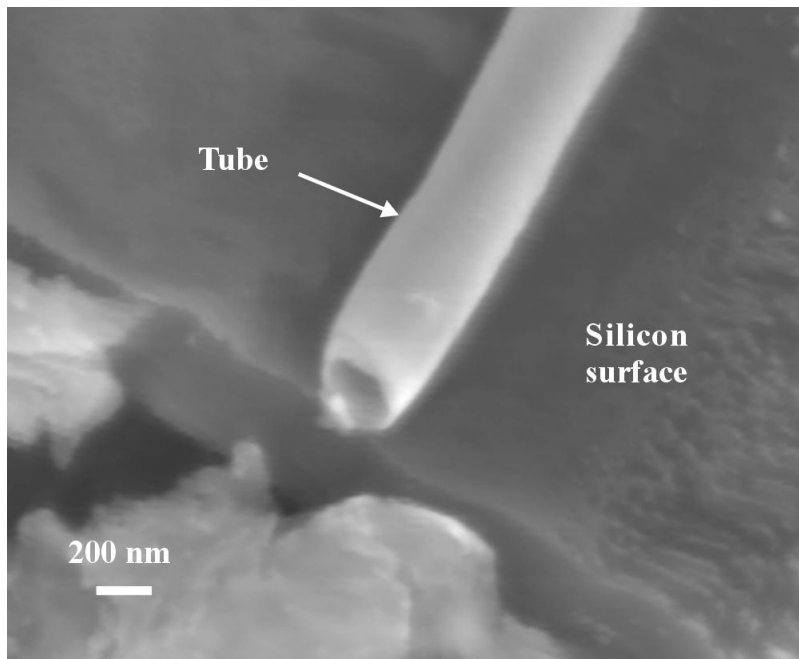
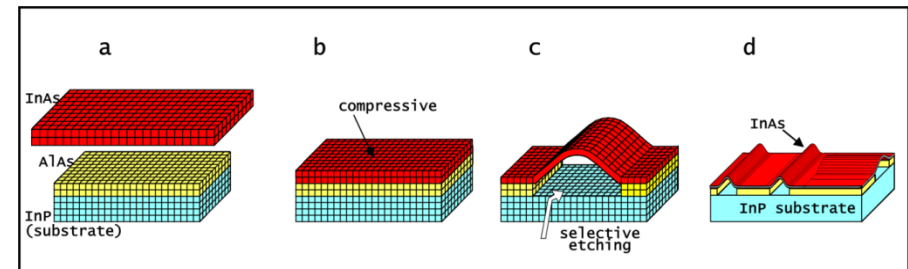
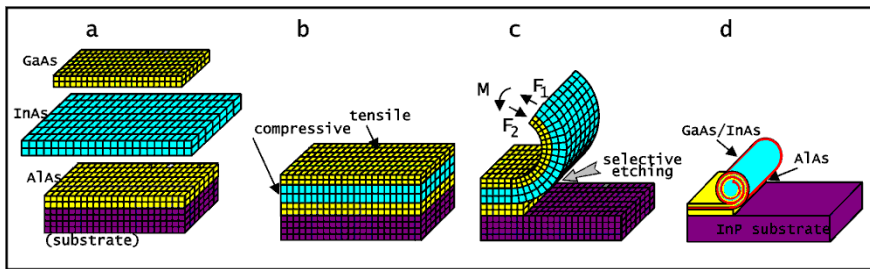


— 200 nm

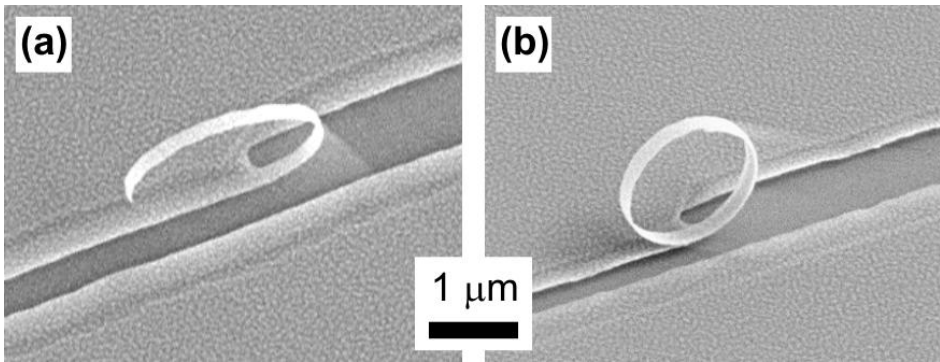
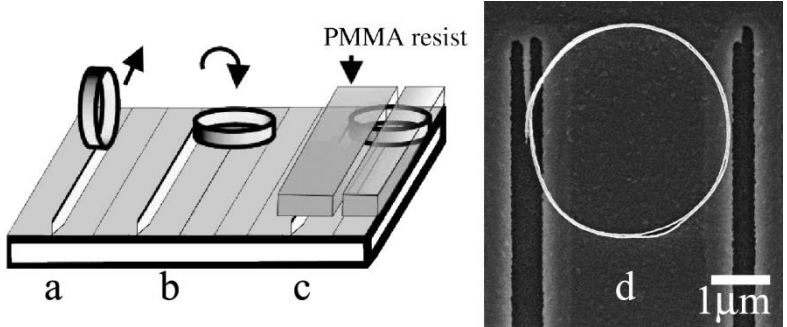
Общее свойство тонких пленок – гранулярная структура.

Тонкие однородные пленки могут быть получены за счет взаимодействия материала пленки с подложкой -эпитаксиальный рост.

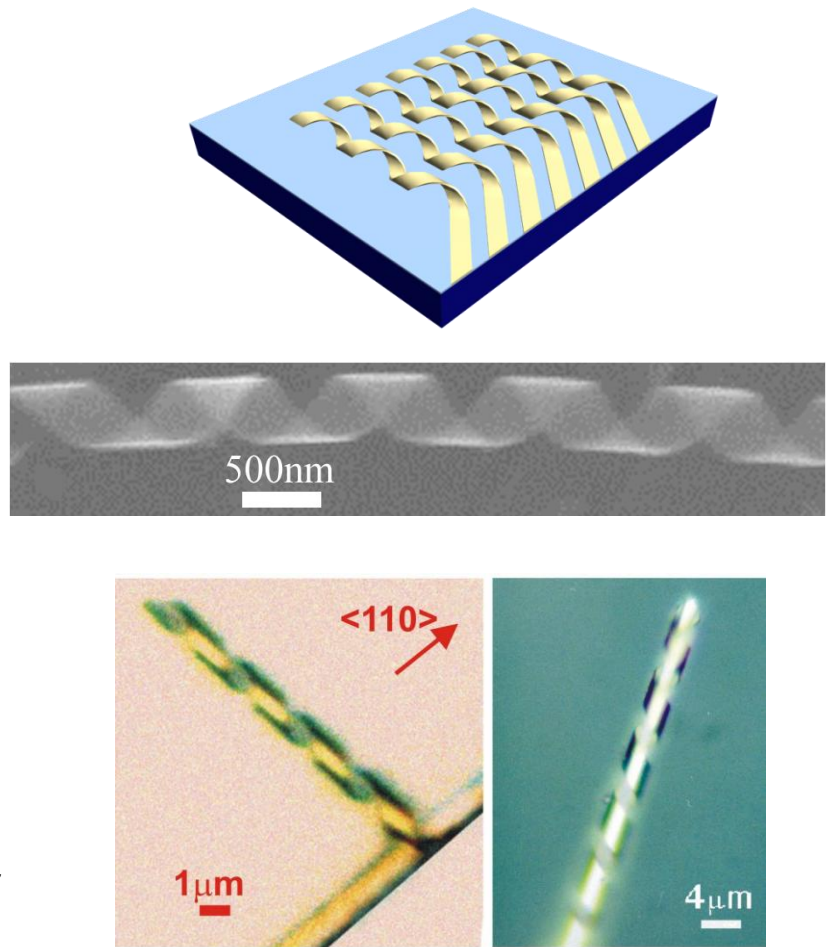
Схема создания наноструктур из многослойных пленок путем химического травления «жертвенного» слоя.



Формирование кольцевых и спиральных структур

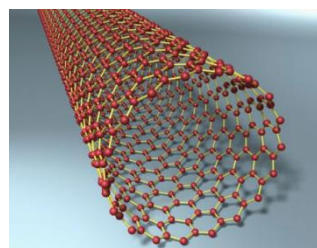
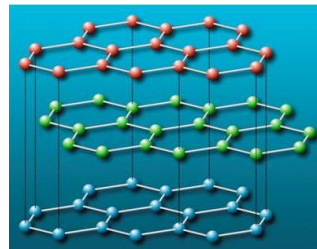
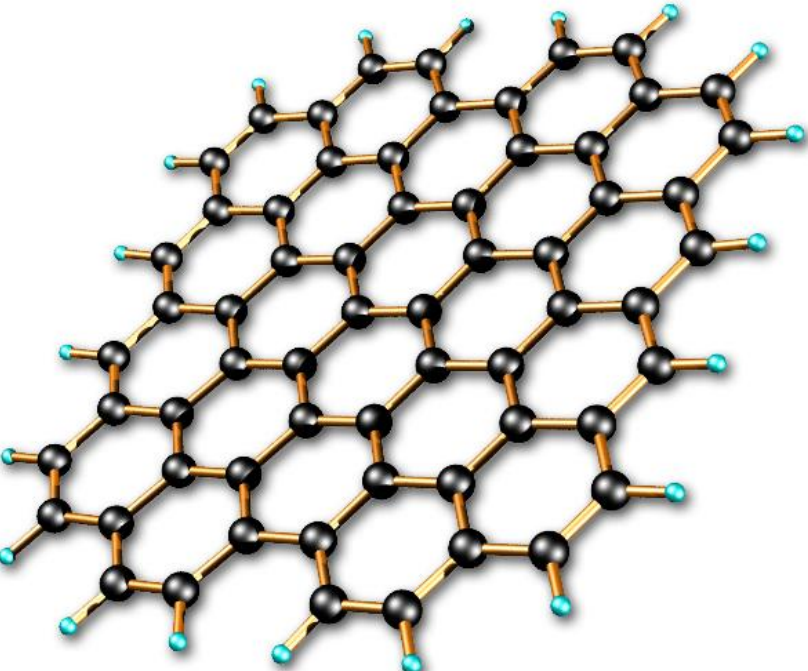


а) гибридное SiGe/Si/Cr кольцо, б) кольцо после удаления Cr



Сpirаль диаметром 7 нм

Графен (graphene) – моноатомный слой углерода

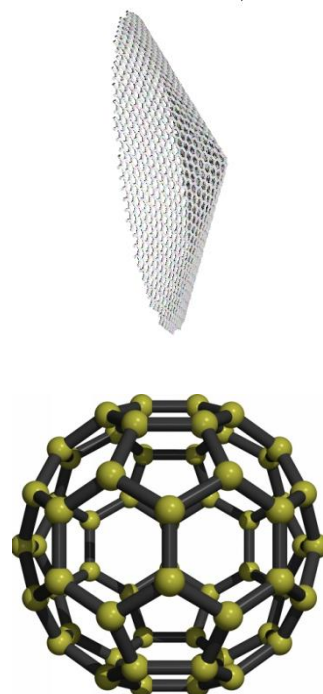


Большая поверхностная
энергия должна препятствовать
существованию графена в виде
изолированного моноатомного
слоя.

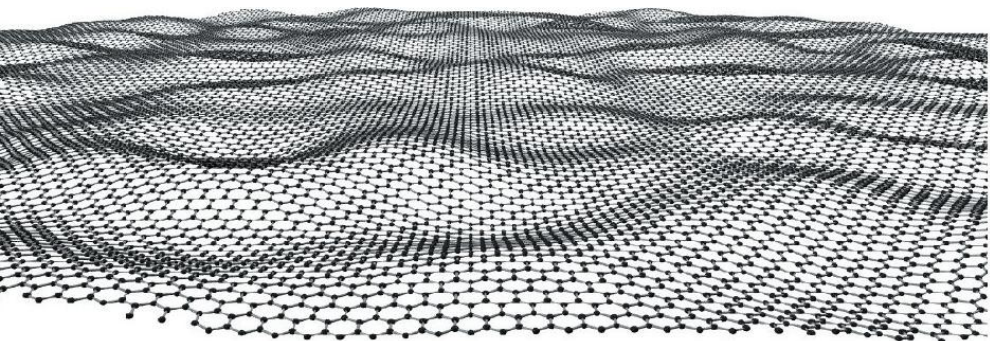
Графит – пакет из
расположенных
параллельно друг другу
плоских слоев графена

Углеродные нанотрубки
– слои графена в виде
цилиндров.

Углеродные
наноконусы – слои
графена конической
формы.



Фуллерены –
сферические
образования из
графена.



Nature, 2007, v. 446(1), p. 60.

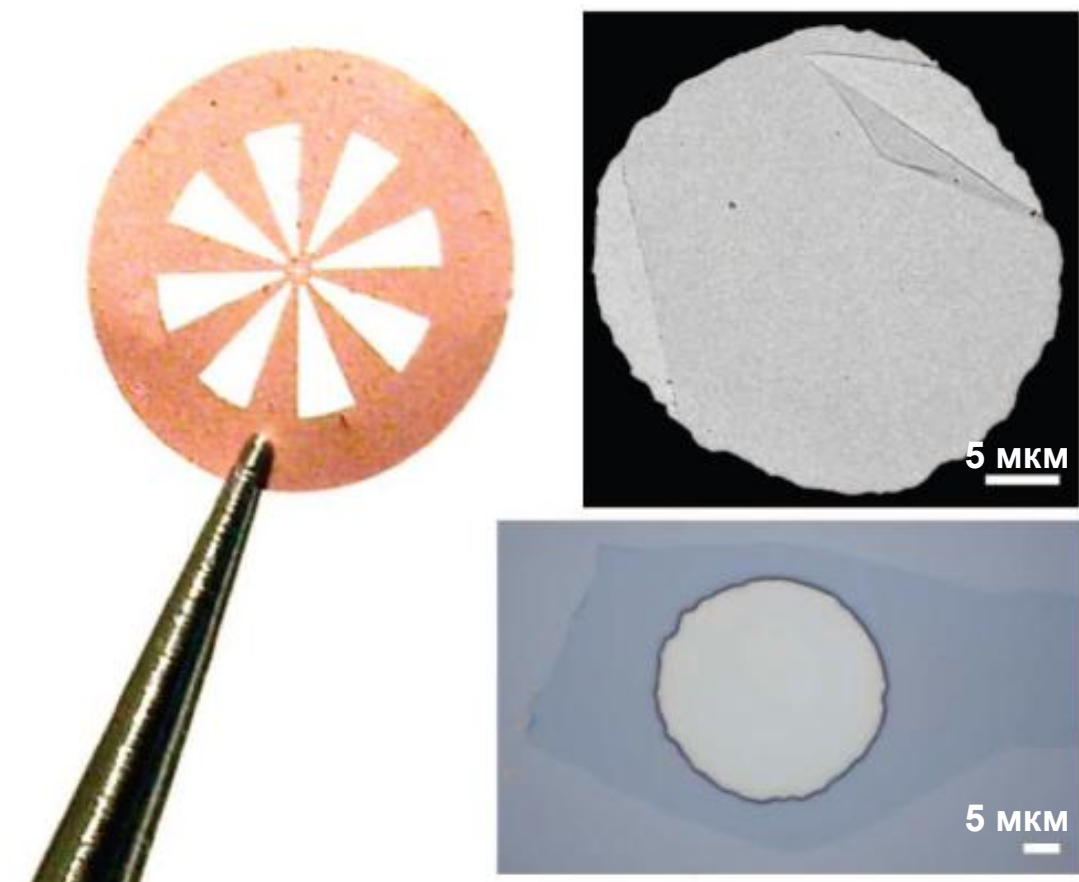
Nano Lett., 2008, v. 8 (8), p. 2442.

Термодинамическая стабильность моноатомного слоя графена обеспечивается гофрировкой поверхности, вызванной тепловыми флюктуациями.

Толщина плоского слоя = 0,35 нм.

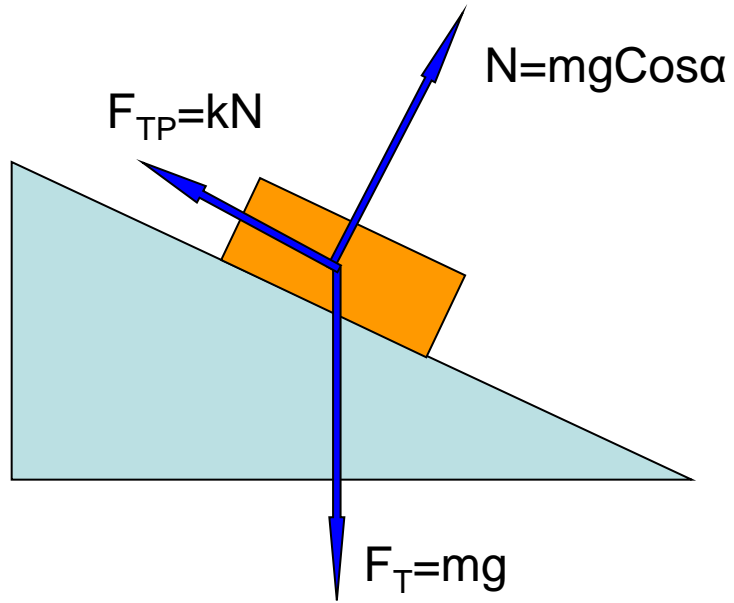
Толщина гофрированного слоя ~ 1 нм.

$$\frac{\text{Толщина}}{\text{Длина}} = \frac{0,35\text{нм}}{35\text{мкм}} = 10^{-5} = \frac{1\text{мм}}{100\text{м}}$$

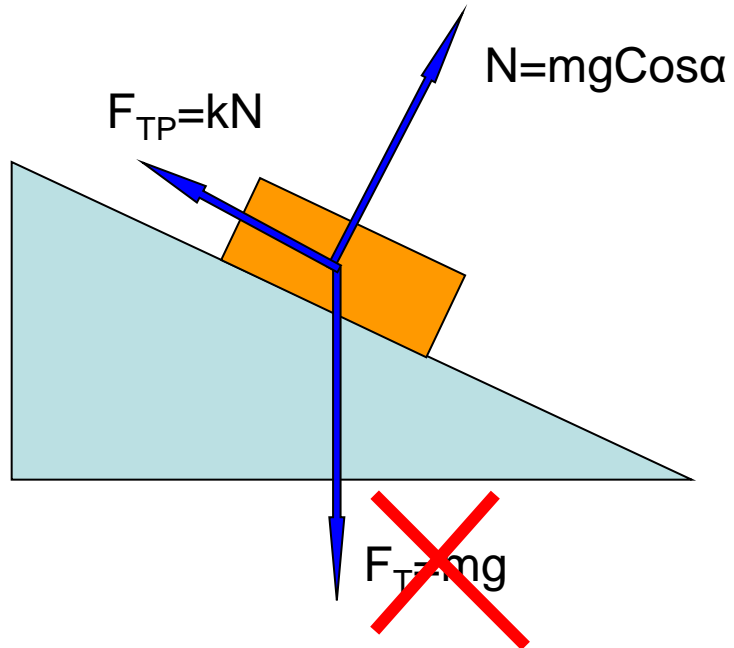


При отношении поперечных размеров к толщине $10^5 \dots 10^7$ моноатомный слой графена способен выдержать без необратимых разрушений воздействие, измеряемое силой, многократно превышающей его собственный вес.

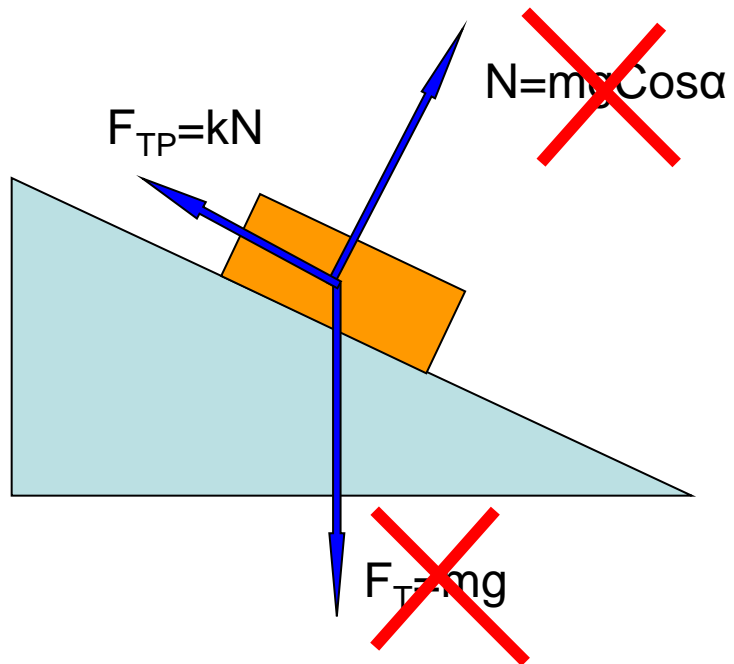
Сила трения в наномире.



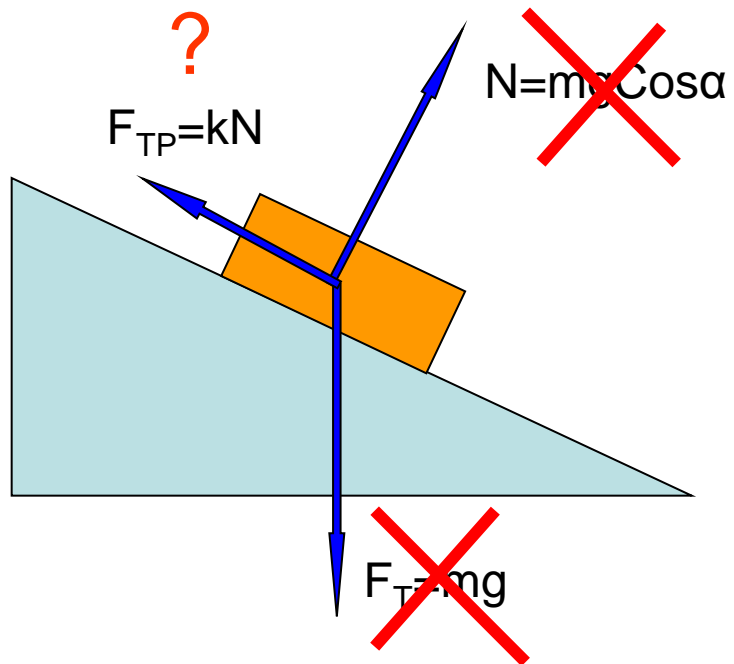
Сила трения в наномире.



Сила трения в наномире.

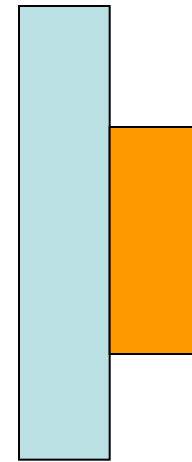
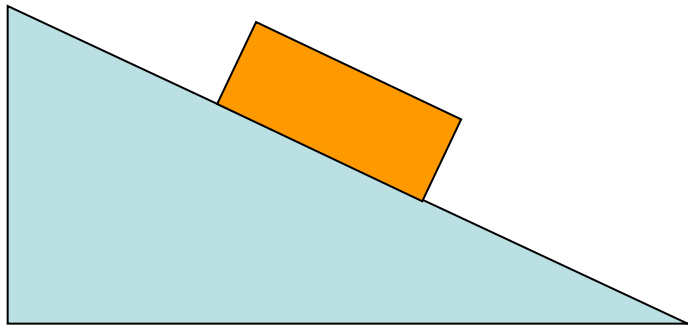


Сила трения в наномире.



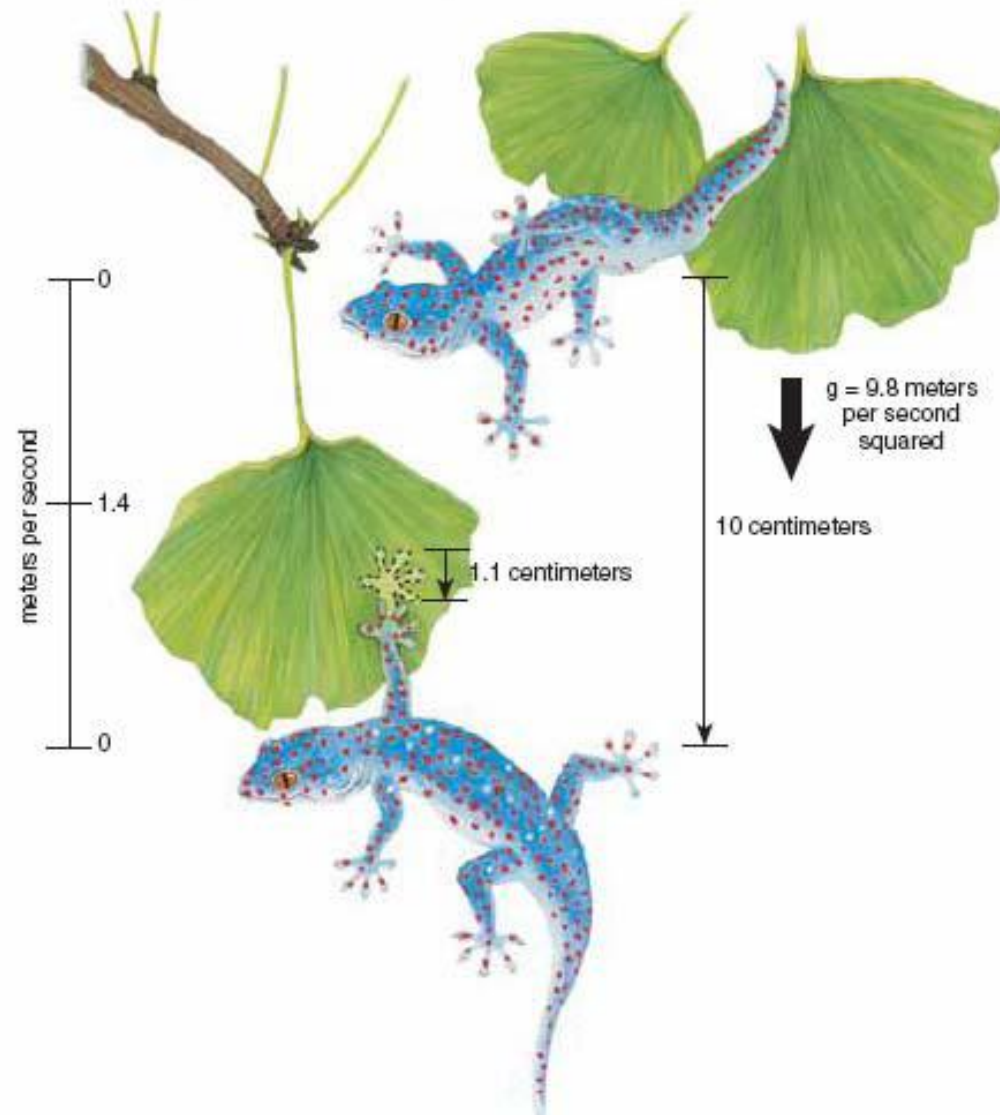
Сила трения в наномире.

$$F_{\text{ТРЕНИЯ}} = F_{\text{покоя}}$$



Площадь соприкасающихся поверхностей определяет величину их взаимодействия (силы трения).

Эффект геккона.



- прикрепляется и открепляется пальцами за время в несколько миллисекунд к почти любой поверхности (исключение - тефлон);
- перемещается по шероховатым и гладким поверхностям с любой пространственной ориентацией;
- способность к зацеплению не изменяется со временем и под действием загрязняющих материалов;
- пальцы не склеиваются друг с другом и обладают способностью к самоочистке;
- лапа отсоединяется от поверхности без приложения видимых усилий;
- двумя передними лапами ящерица геккон, имея собственный вес около 50 г, может удерживать вес более 2 кг.

[K. Autumn, et al. *American Scientist*, 2006, 124]

Строение лап геккона ([K. Autumn, et al. *American Scientist*, 2006, 124])

МАКРО



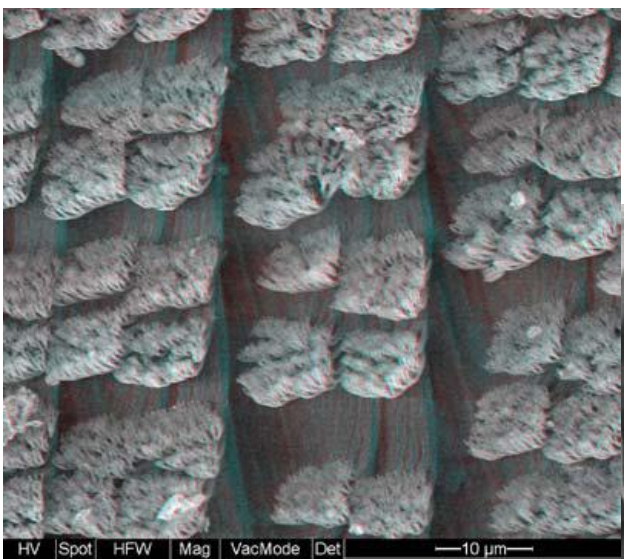
МЕЗО



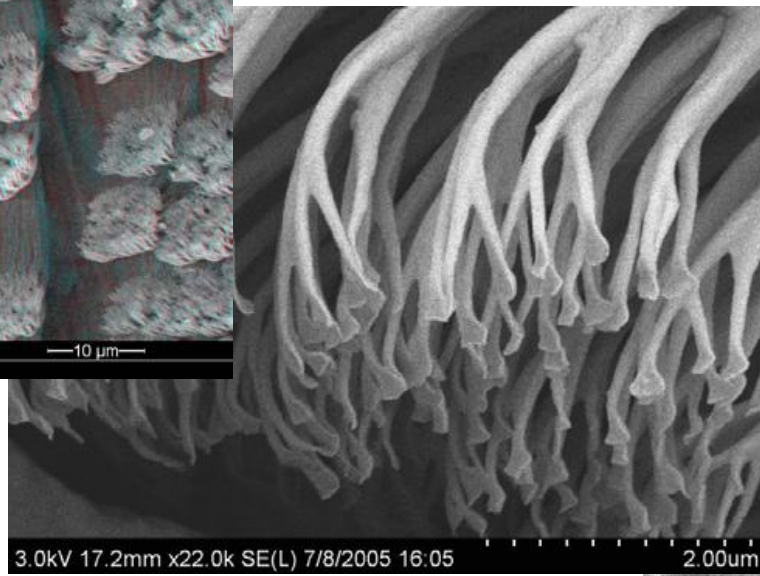
МИКРО



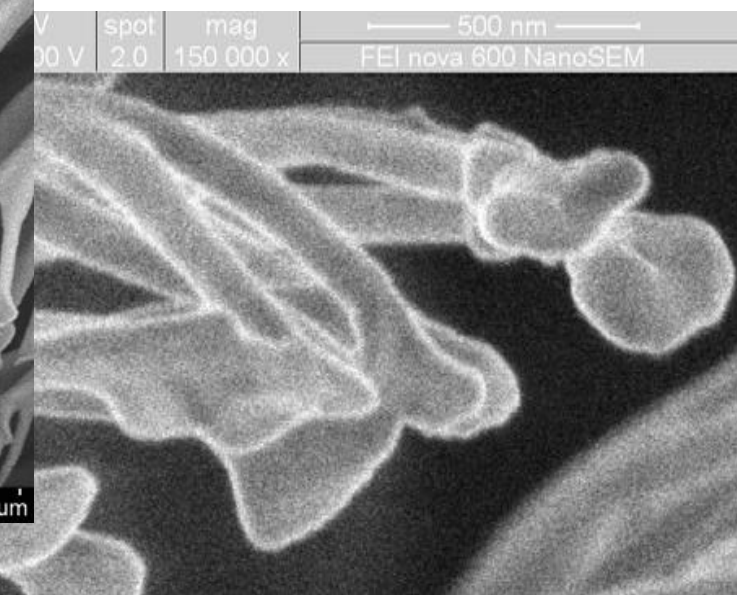
СУБ-МИКРО



НАНО



НАНО



Измерения, проведенные для отдельной щетинки на пальце ящерицы показали, что для преодоления ее адгезии к поверхности необходимо приложить усилие в **200 мкН**.

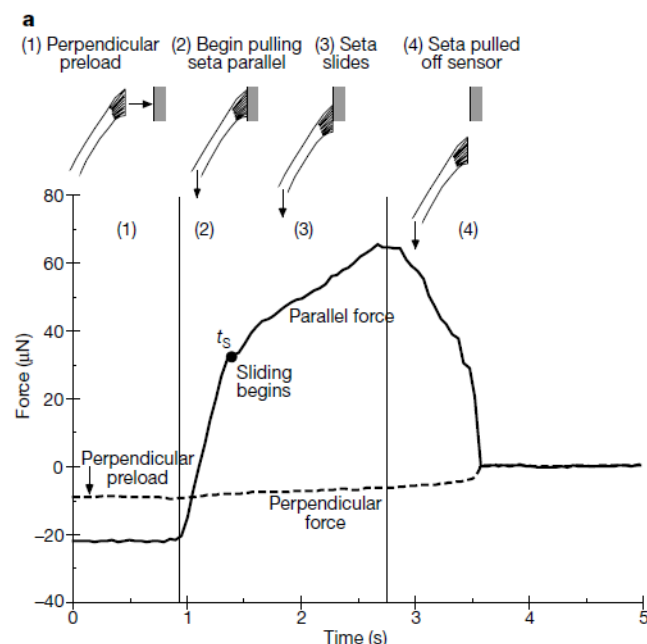
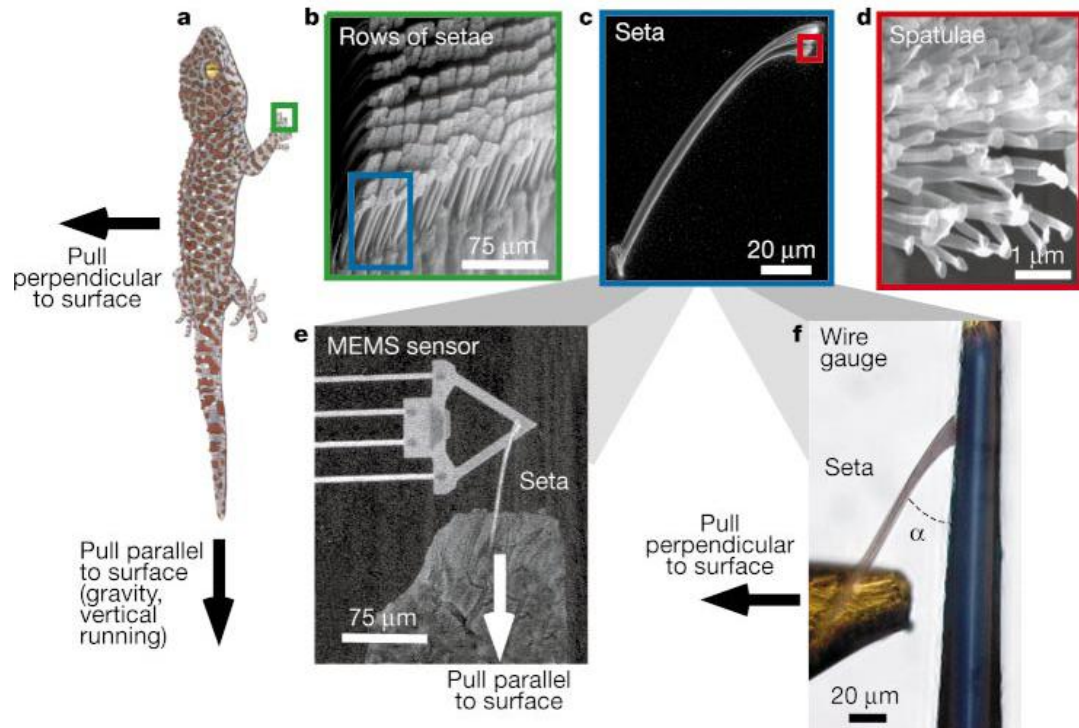
Общее количество щетинок составляет около $6,5 \cdot 10^6$ на каждой лапе, что эквивалентно усилию по ее отрыву в **1300 Н**.

Для удержания на поверхности ящерице достаточно использовать 2000 щетинок на каждой лапе, т.е. менее 0,04% от их общего количества.

Изменение угла соприкосновения щетинок с поверхностью приводит к уменьшению силы взаимодействия и обеспечению возможности к перемещению.

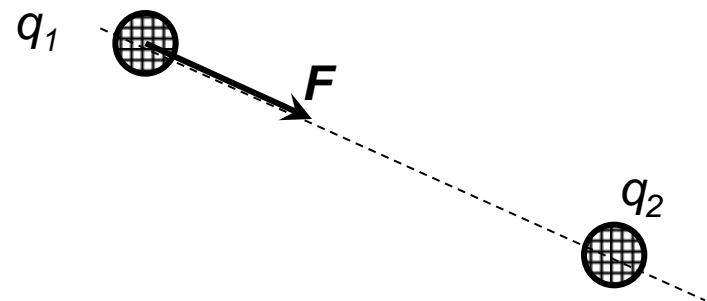
Механический захват, вакуумная присоска, наличие клейкого состава, капилярные силы были признаны не способными вызвать наблюдаемый эффект.

Единственное объяснение – короткодействующее взаимодействие Ван-дер-Ваальса.

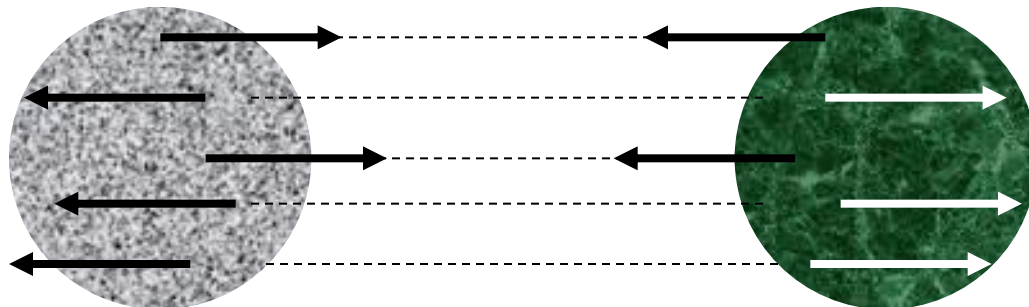


Взаимодействие точечных зарядов - Закон Кулона

$$F = k \cdot \frac{q_1 \cdot q_2}{R^2}$$

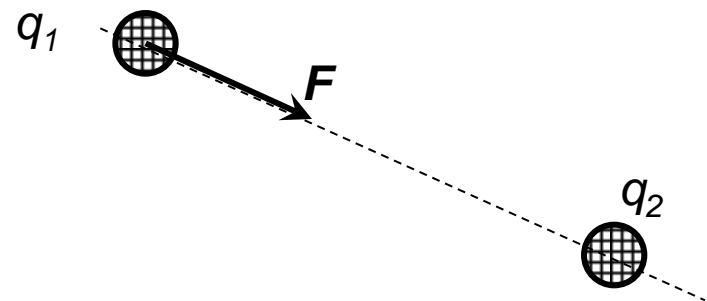


Взаимодействие незаряженных объектов (атомов, молекул, наночастиц)

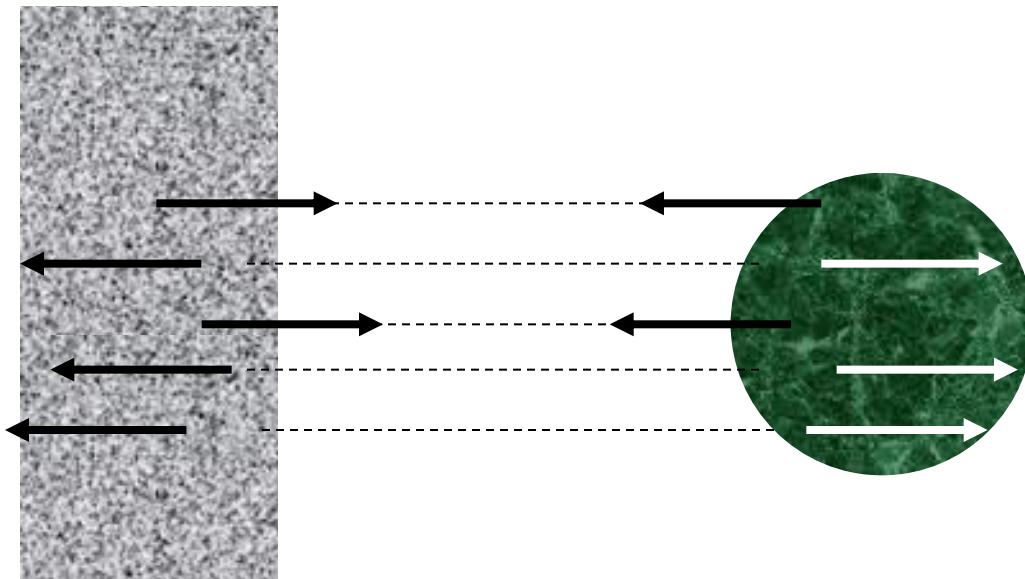


Взаимодействие точечных зарядов - Закон Кулона

$$F = k \cdot \frac{q_1 \cdot q_2}{R^2}$$



Взаимодействие незаряженных объектов (атомов, молекул, наночастиц)

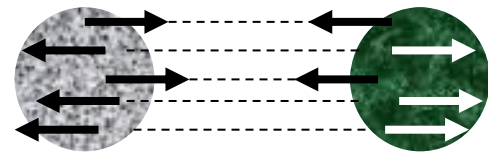


Потенциал взаимодействия:

$$U(r) = U_{\text{притяжение}}(r) + U_{\text{отталкивание}}(r) = \frac{-A}{r^m} + \frac{B}{r^n} = - \int F(r) dr$$

$U_{\text{притяжение}}(r)$ Взаимодействие Ван-дер-Ваальса

$U_{\text{отталкивания}}(r)$ Взаимодействие Паули



$r = \text{расстояние}$

$A, B, m, n - \text{константы}$

Сила взаимодействия:

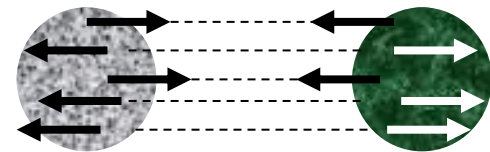
$$F(r) = \frac{-dU(r)}{dr} = \int k(r) dr$$

Коэффициент упругости (жесткость):

$$k(r) = \frac{-d^2U(r)}{dr^2} = \frac{dF(r)}{dr}$$

Потенциал Леннарда-Джонса

$$U_{ЛД}(m=6, n=12) = \frac{-A}{r^6} + \frac{B}{r^{12}} = 4E_B \left[\left(\frac{\sigma}{r} \right)^{12} - \left(\frac{\sigma}{r} \right)^6 \right]$$



Сила взаимодействия:

$$F_{ЛД}(m=6, n=12) = \frac{-6A}{r^7} + \frac{12B}{r^{13}}$$

r – расстояние

A, B, m, n – константы

$k_B = 1,38 \times 10^{-23}$ Дж / К

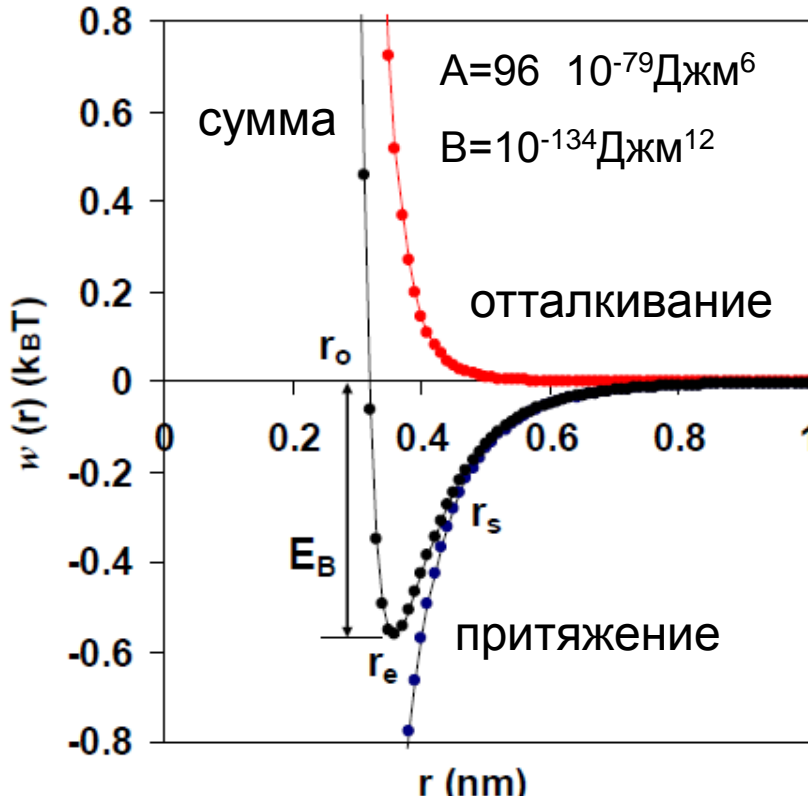
T – температура (К)

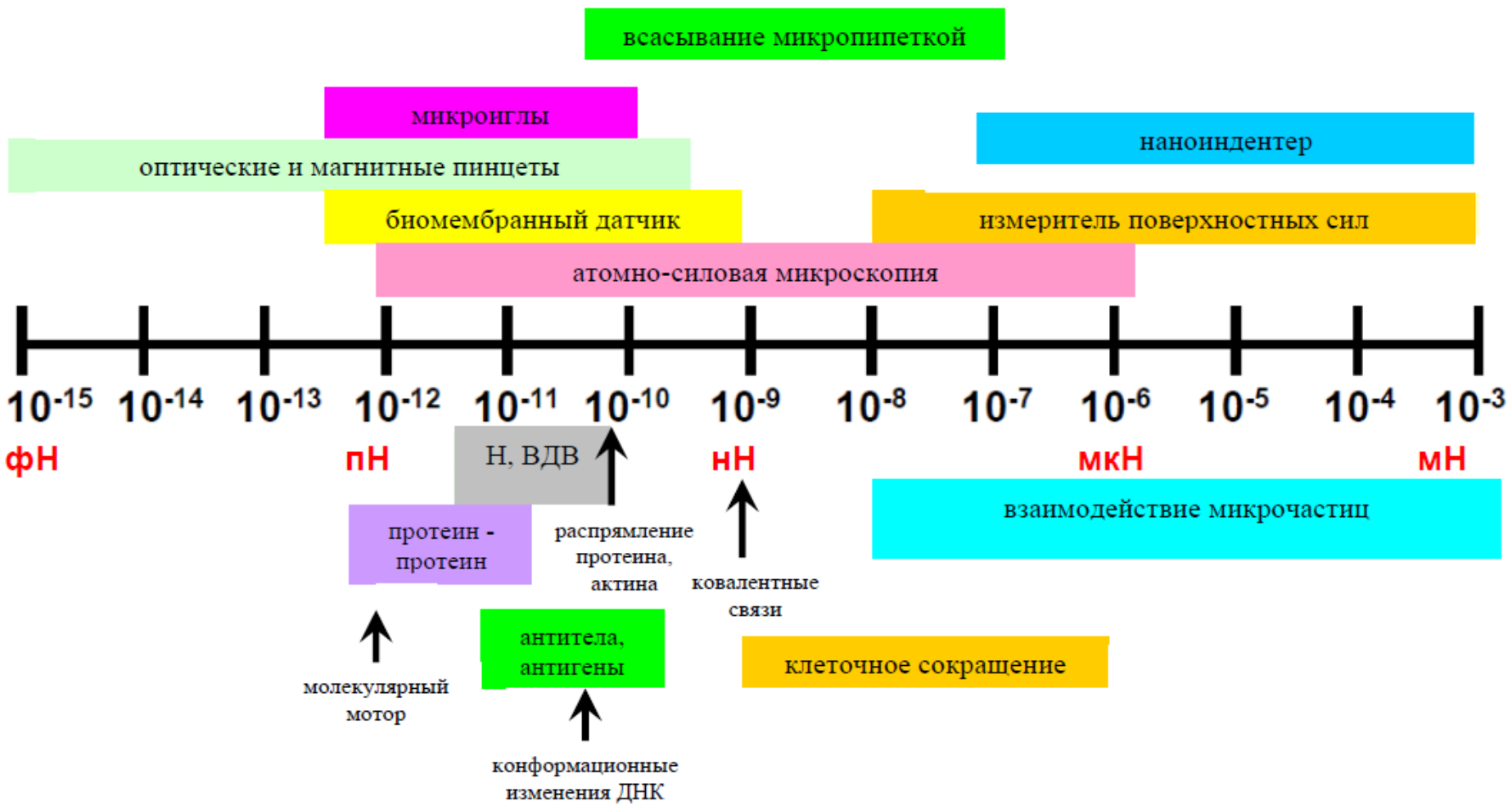
E_B – связывающая энергия

r_s – точка перегиба $F(r_s) = \min$

r_e – равновесное расстояние $F(r_e) = 0, U(r_e) = \min$

$r_0 = \sigma$ $U(r_0) = 0, F(r_0) = \infty$





Характерные величины сил в различных наномеханических устройствах.

Строение лап геккона ([K. Autumn, et al. *American Scientist*, 2006, 124])

МАКРО



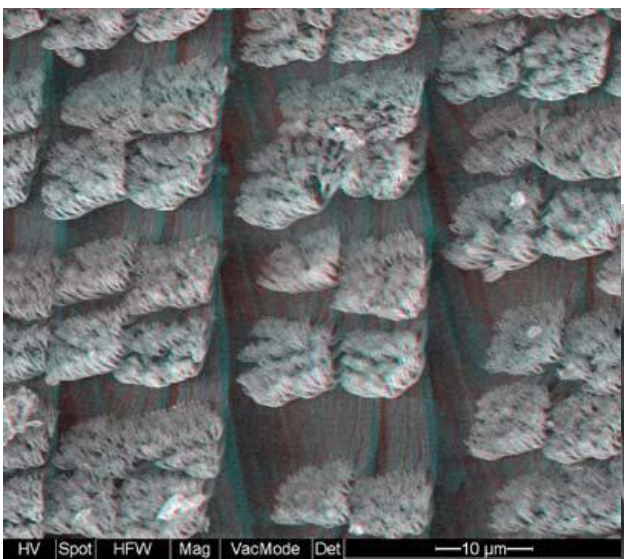
МЕЗО



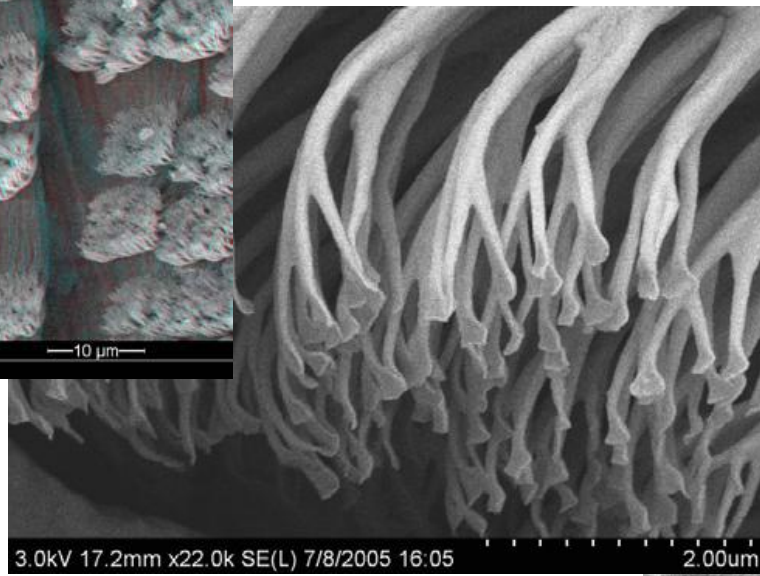
МИКРО



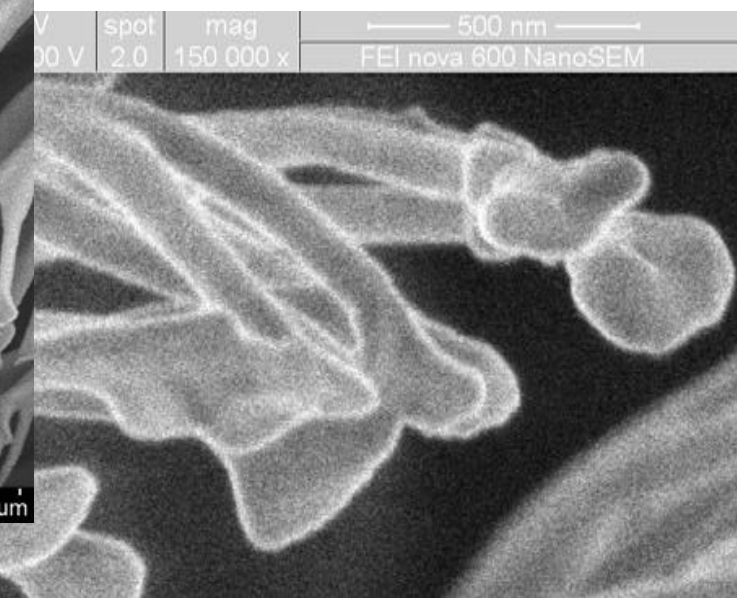
СУБ-МИКРО



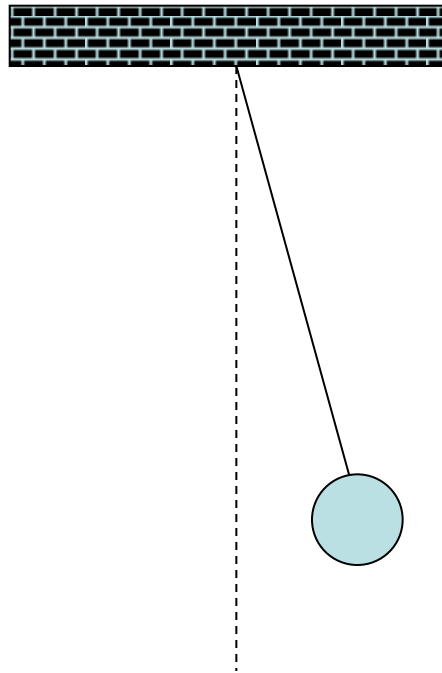
НАНО



НАНО



Механические колебания и резонансы в наноразмерных системах



$$\omega = (g/l)^{1/2}$$

$$T = 2\pi/\omega$$

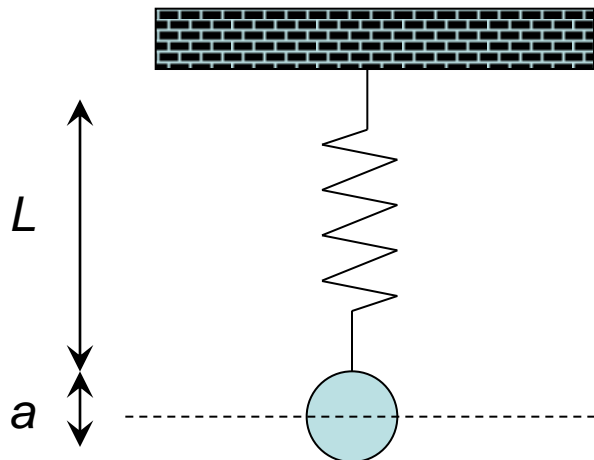
$$g = 9,8 \frac{\text{m}}{\text{s}^2}$$

$$\omega \propto \sqrt{l}$$

$$l = 0,5 \text{ м} \Rightarrow T \approx 1 \text{ сек}; f = 1/T \approx 1 \text{ Гц}$$

$$l = 0,5 \text{ мкм} = 500 \text{ нм} \Rightarrow T \approx 10^{-3} \text{ сек}; f = 1000 \text{ Гц}$$

Механические колебания и резонансы в наноразмерных системах



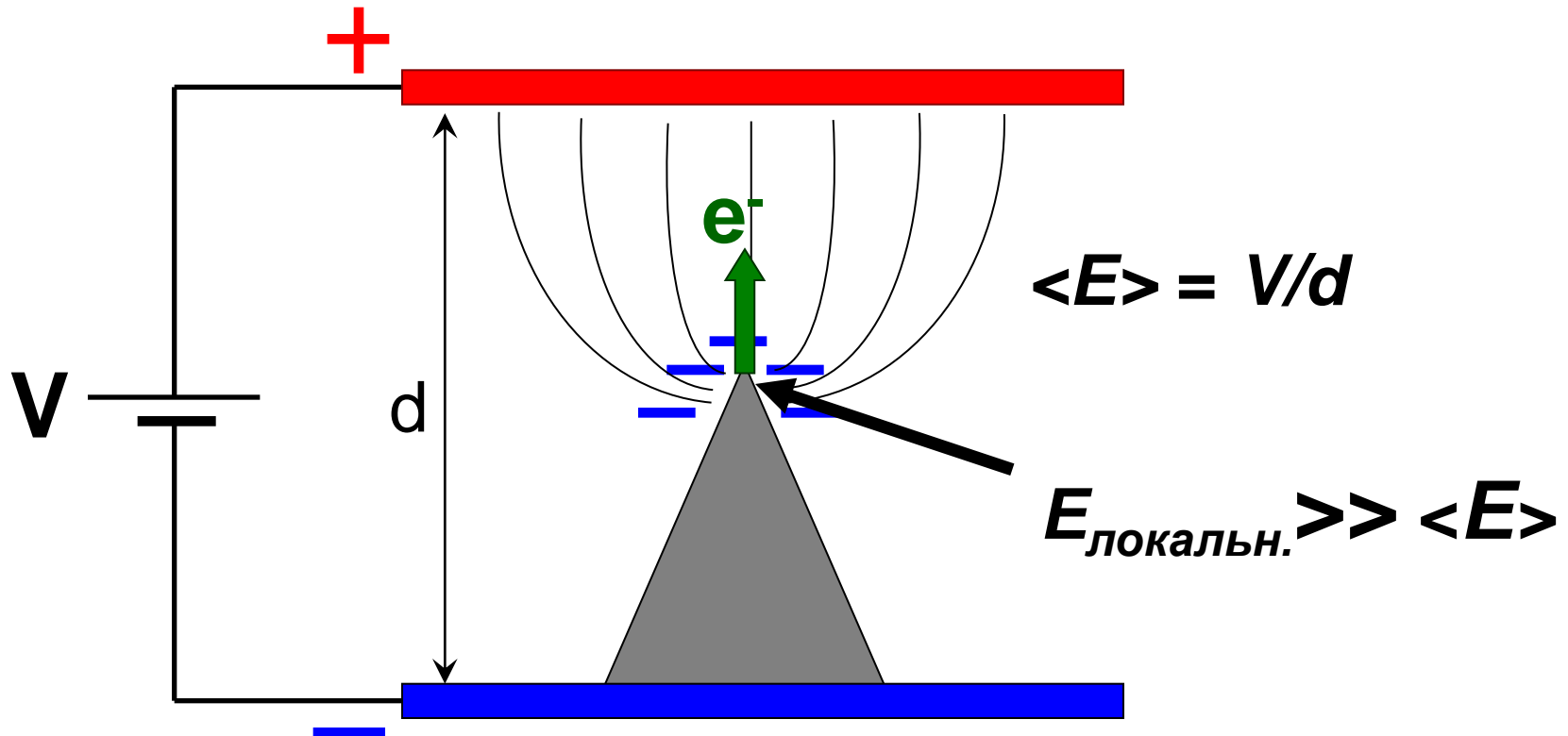
$$\omega = (k / m)^{1/2}$$

$$T = 2\pi / \omega$$

$$a \approx L \Rightarrow \begin{cases} m \propto L^3 \\ k \propto L \end{cases} \Rightarrow \omega \propto L^{-1}$$

Как правило амплитуда колебаний в наноразмерных системах оказывается сопоставимой с их линейными размерами. Поэтому приближение гармонического осциллятора оказывается неверным, и для анализа колебательных процессов необходим учет изменения параметров системы.

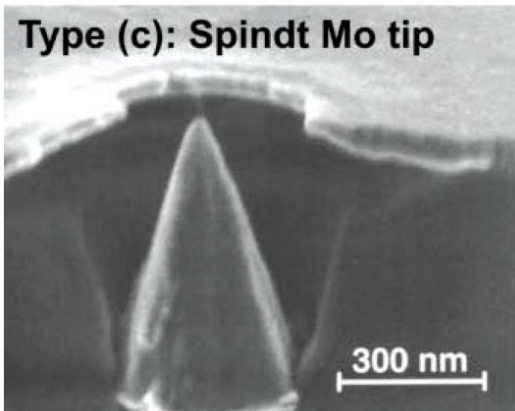
Автоэлектронные эмиттеры



Автоэлектронные эмиттеры

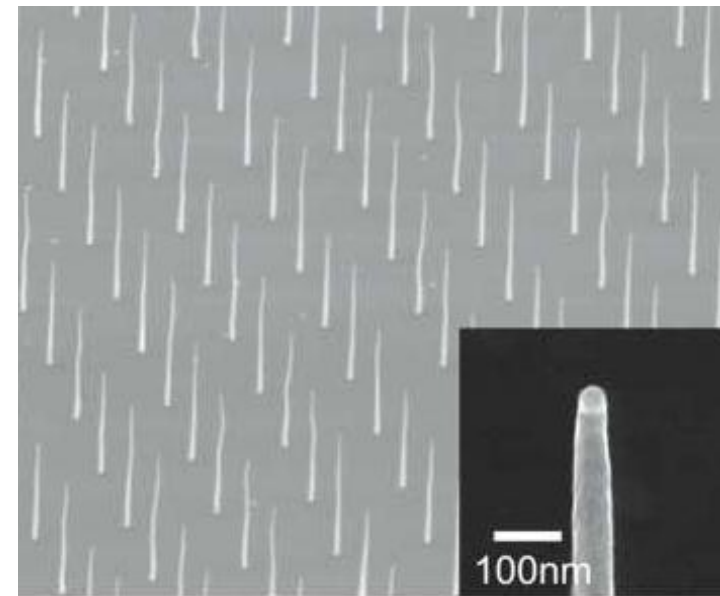
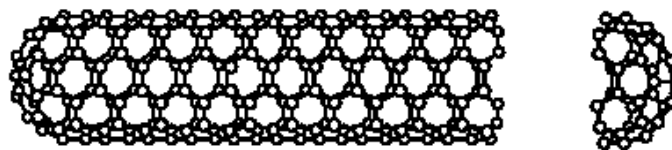
Полупроводниковые
и металлические эмиттеры

Наноразмерные эмиттеры
(нанотрубки, нановолокна и пр.)



Type (b): Oxidation
sharpened etched Si tips

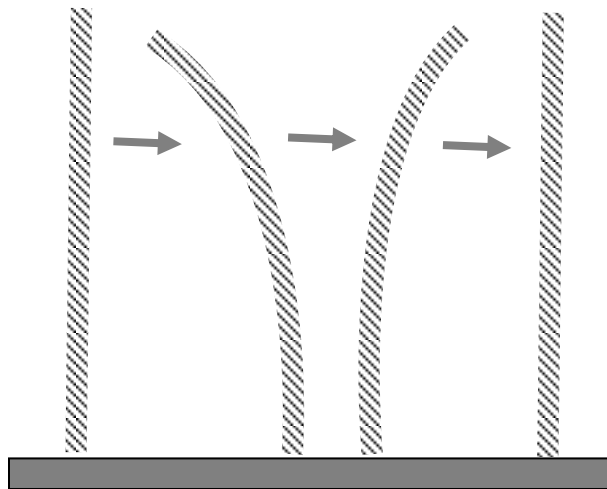
Scanning electron micrograph (SEM) showing three groups of three sharp, conical silicon tips, each group exhibiting a 'christmas tree' shape at the apex.



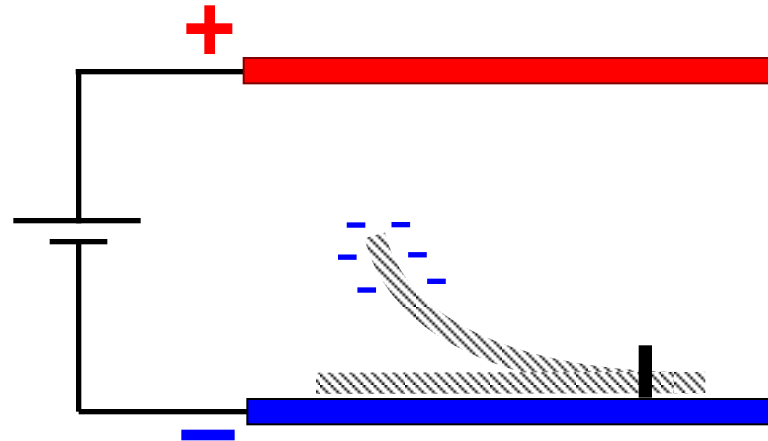
[W.I. Milne et.al, J.Mater.Chem.,2004]

Электромеханические свойства гибких эмиттеров

Механическая
гибкость



Изгиб в
электрическом поле

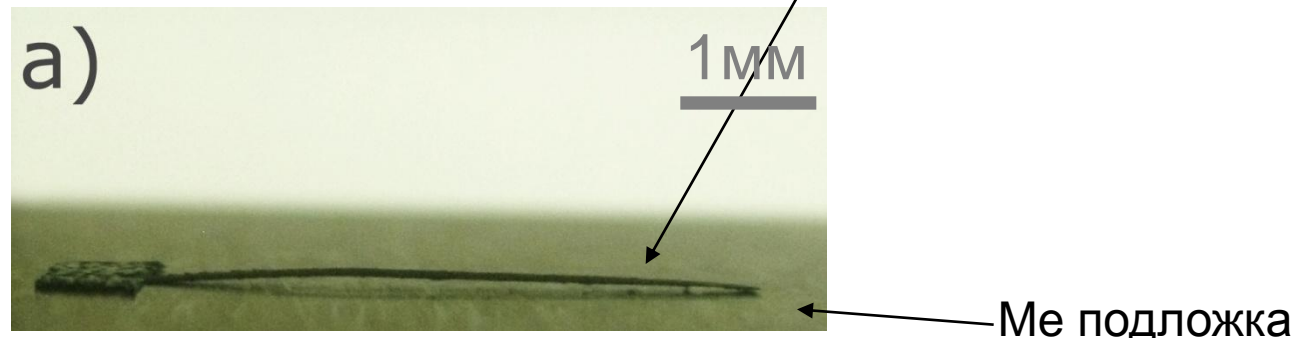
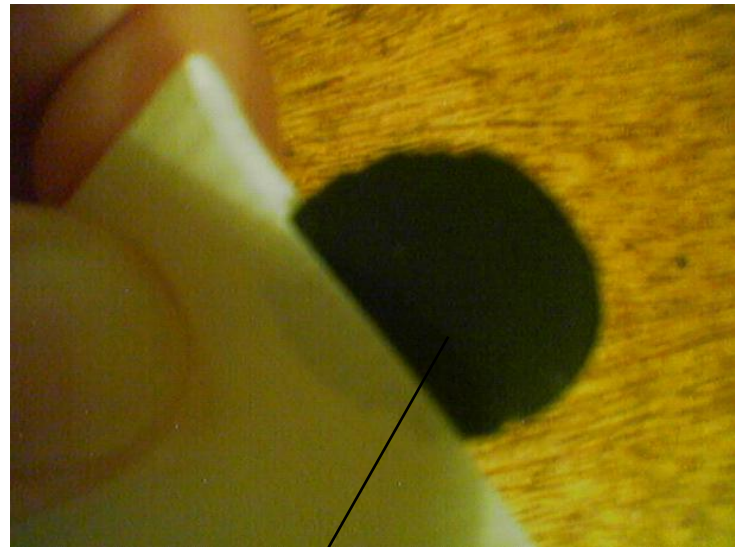
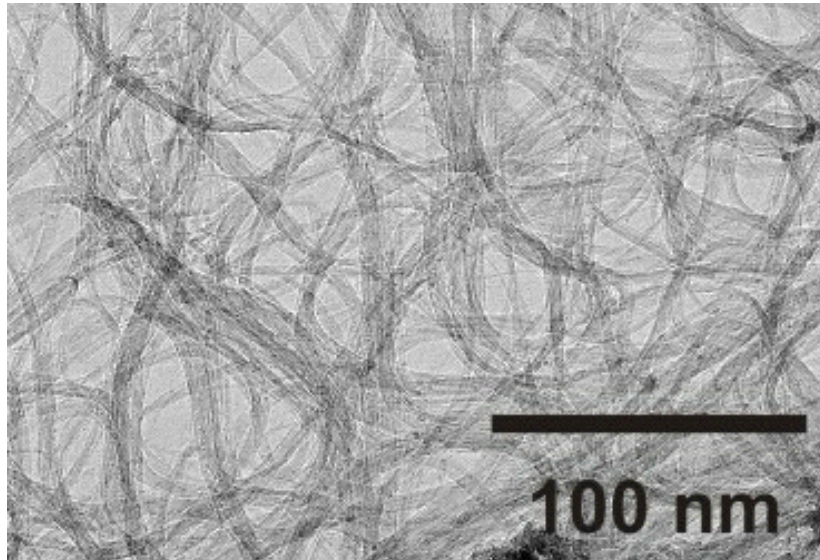


Упругие деформации

Пленки из одностенных углеродных нанотрубок (УНТ)

Одностенные УНТ (электродуговой метод)

Осажденная УНТ пленка



Автоколебания полевого эмиттера в постоянном поле

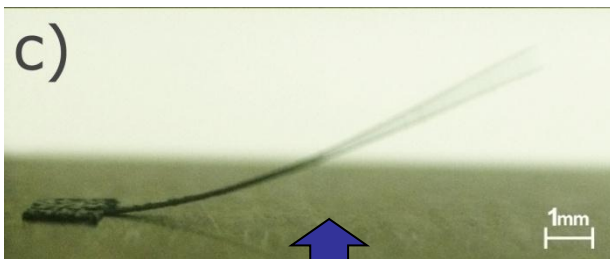
a)



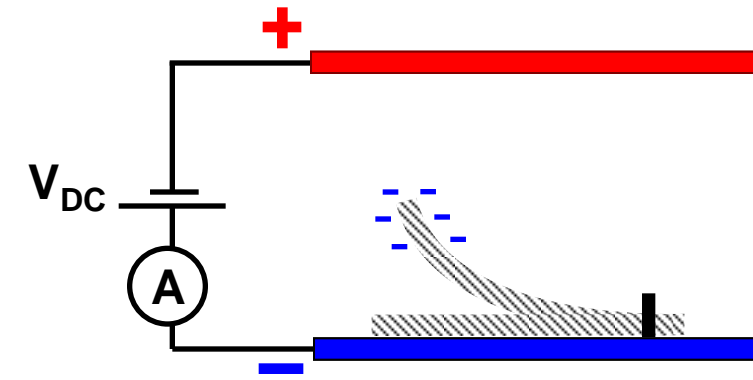
b)



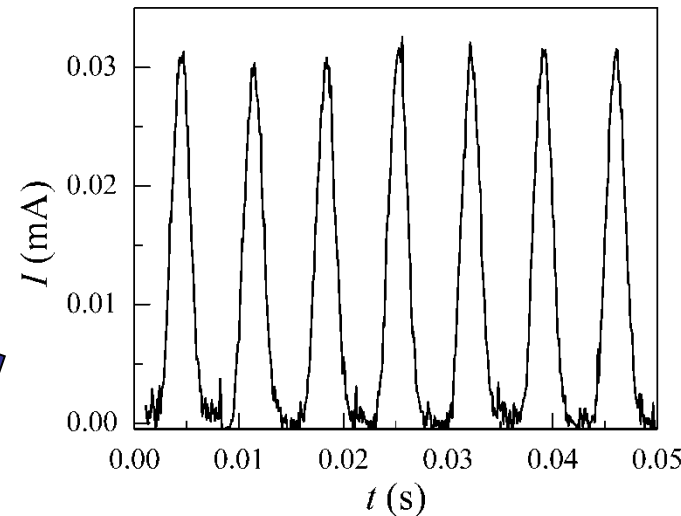
c)



Электромеханические
автоколебания

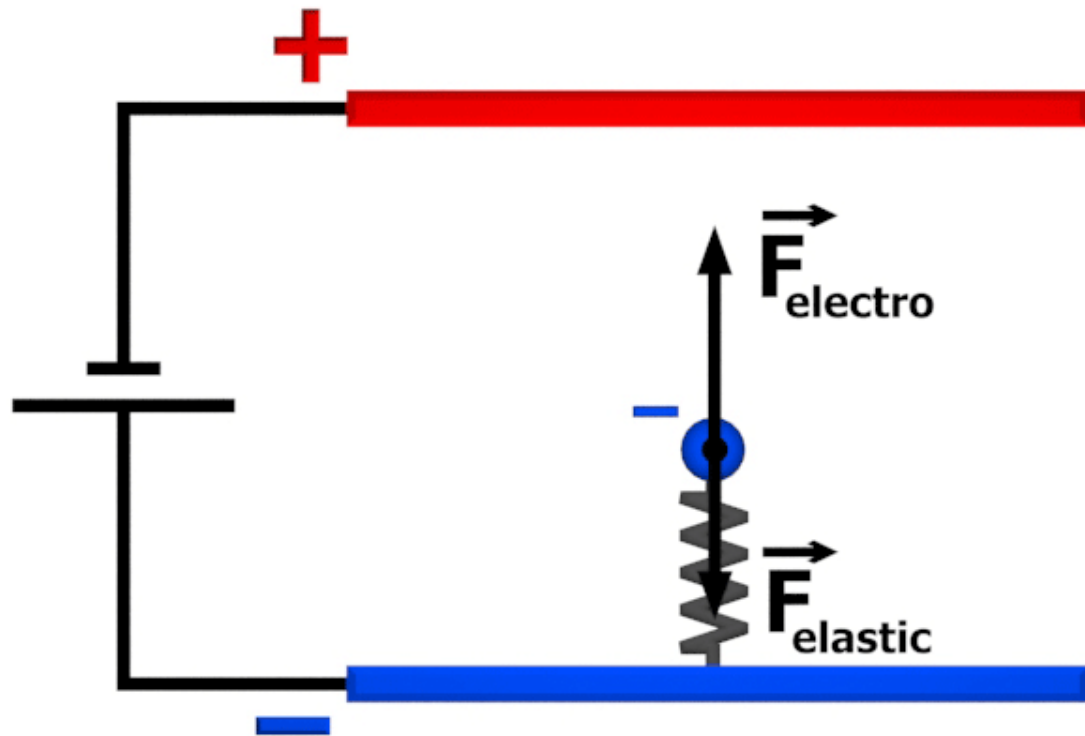


Эмиссионный ток от времени

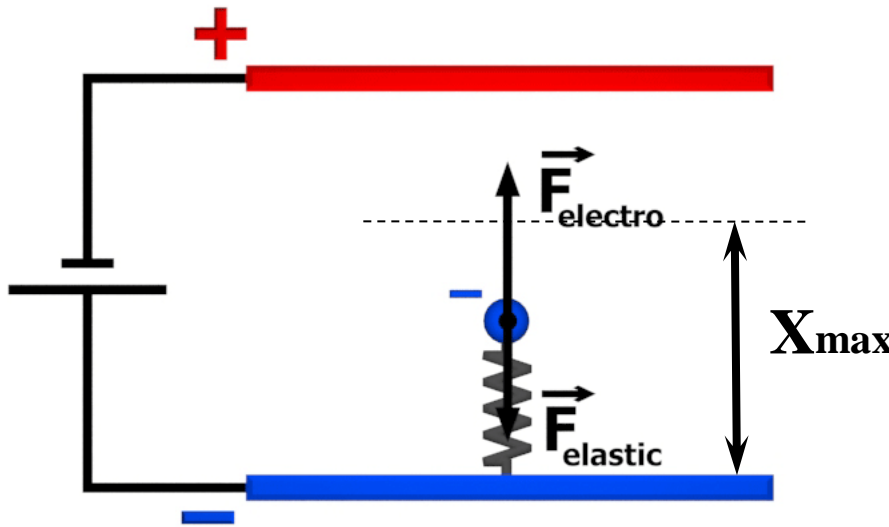


Частота колебаний 100-300Гц

Колебания гибкого эмиттера



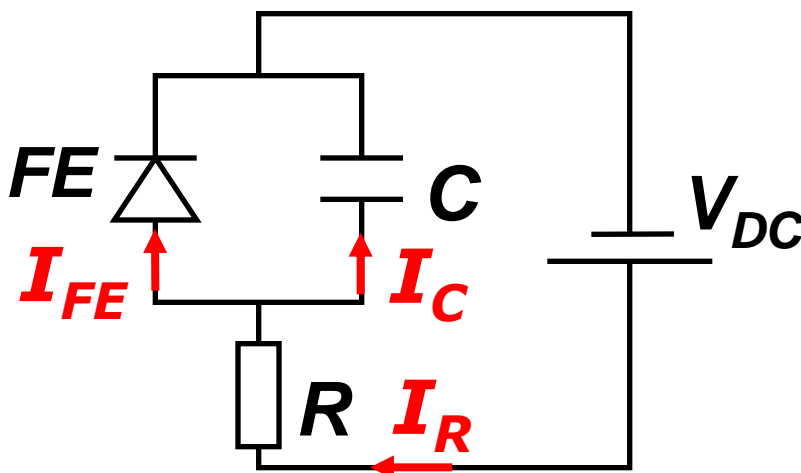
Колебания гибкого эмиттера



Амплитуда колебаний:
 $X_{max}=X$ (Iэмисс)

Эмиссионный ток:
 $I_{эмисс}=I(V)=I(q/c)$

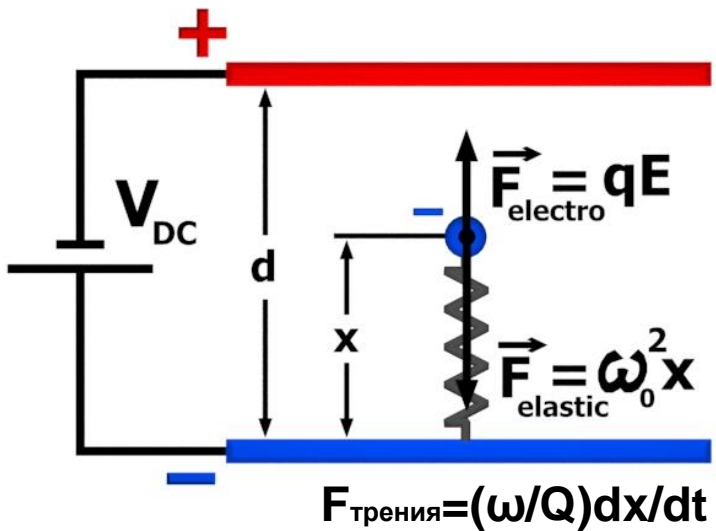
q-заряд на эмиттере
c- емкость
 $V=q/c$ – напряжение на эмиттере



Заряд на эмиттере:
 $q(t) \sim \exp(t/Rc)$

Незатухающие колебания:
 $Rc > T_{\text{мех.колеб.}}$

Модель автоколебательной системы

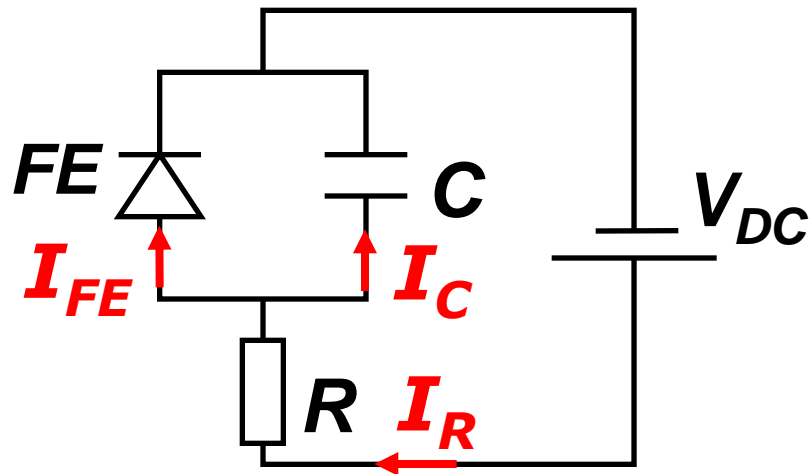


$$m\ddot{x} = F_{\text{elastic}} + F_{\text{friction}} + F_{\text{electro}}$$



$$\ddot{x} + (\omega_0/Q)\dot{x} + \omega_0^2 x - c(x)E(x,V)V m^{-1} = 0$$

$$c(x)\dot{V} + V\dot{c}(x) + I_{FN}(E(x,V)) + (V - V_0)R^{-1} = 0$$



$$V_0 = I_R R + V$$

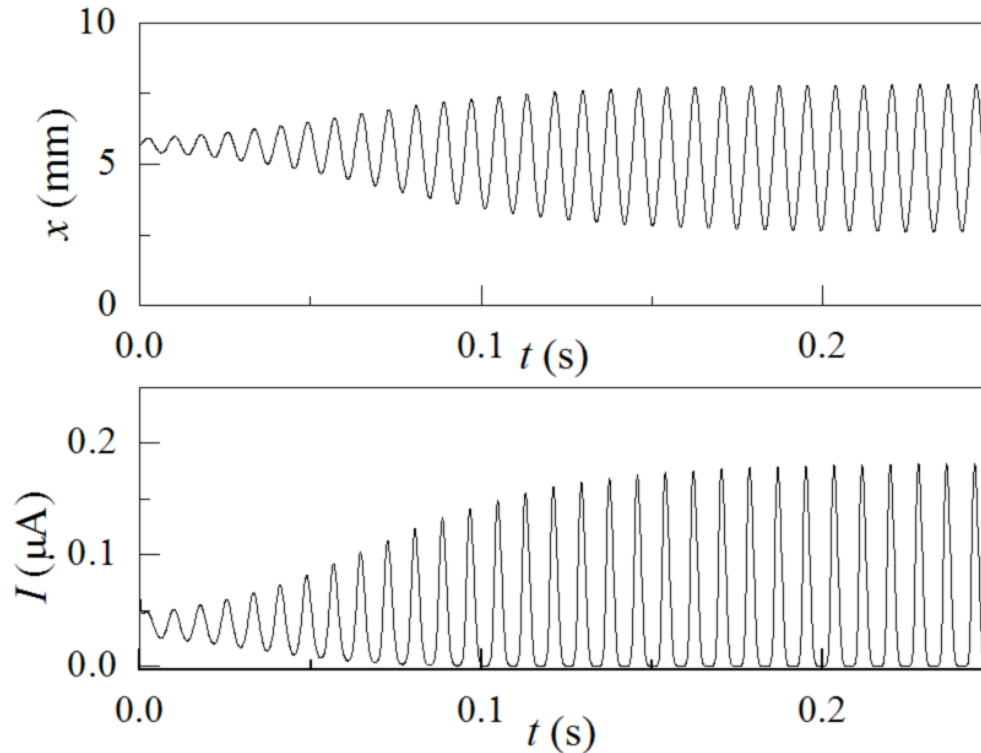
$$I_R = I_{FN} + I_c$$

Модель автоколебательной системы

$$\ddot{X} + (\omega_0/Q)\dot{X} + \omega_0^2 X - c(X)E(X,V)Vm^{-1} = 0$$

$$c(X)\dot{V} + V\dot{c}(X) + I_{FN}(E(X,V)) + (V - V_0)R^{-1} = 0$$

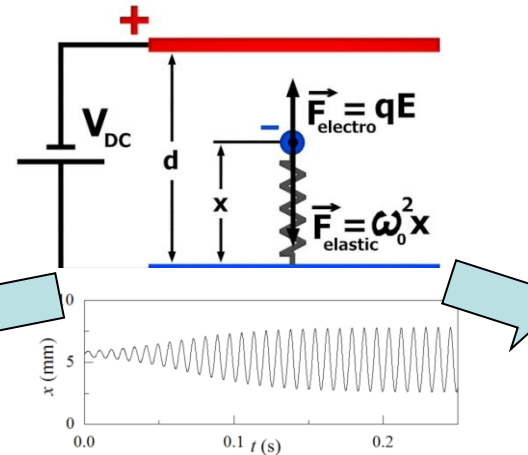
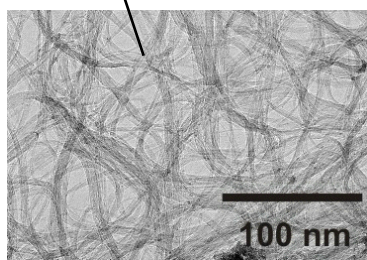
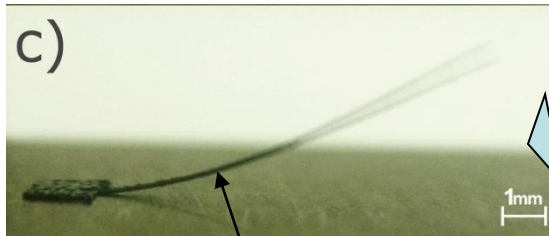
Численное решение



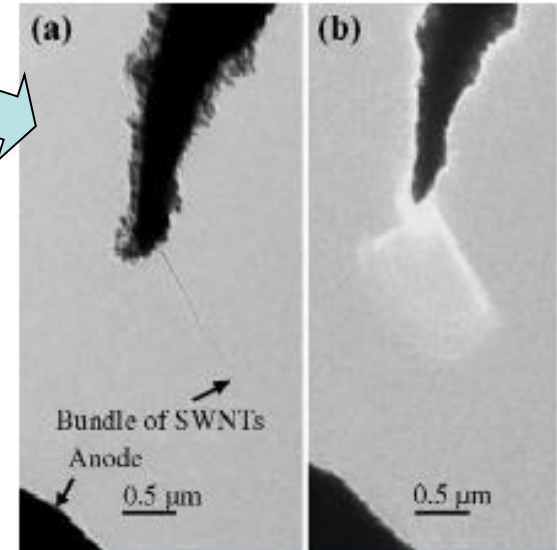
[Клещ В.И. и др., ПЖЭТФ, 90 (2009)]

Частота автоколебаний нано-эмиттера

Макроэмиттер



Наноэмиттер



Частота автоколебаний
 $f \sim 1/L$

$f \sim 100\text{Гц}$

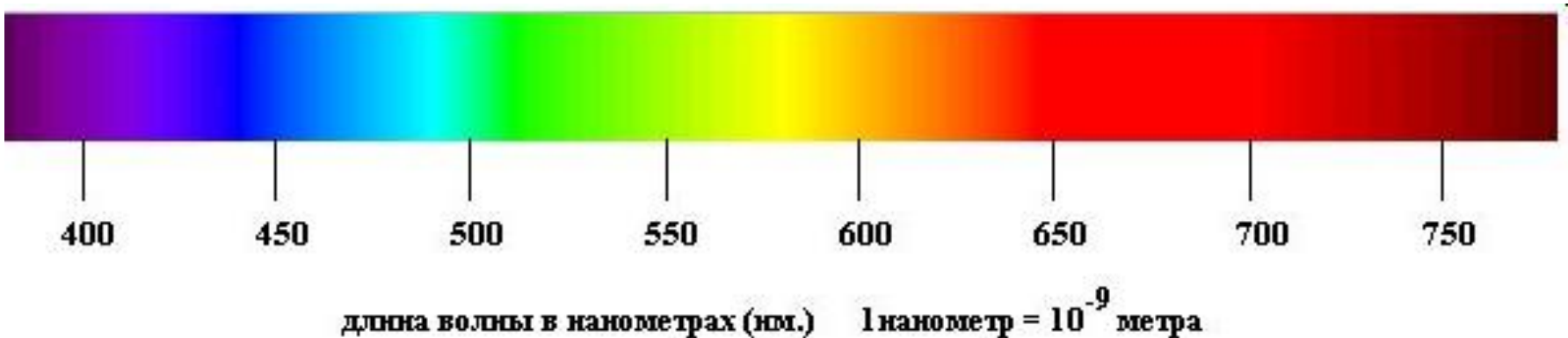
$f \sim \text{mm/nm} \quad 100\text{Hz} \sim 10^8\text{Гц}$

Преобразование DC/AC

Генерация Э-М волн

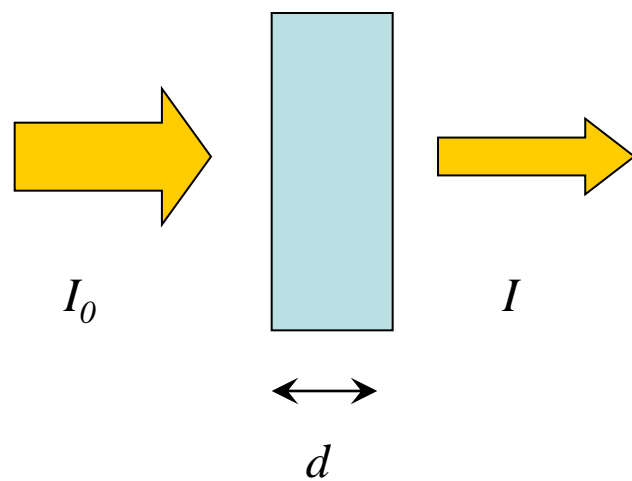
Создание новых устройств на наноуровне

Особенности оптических свойств наноматериалов



Для наноматериалов приближение однородной среды оказывается неадекватным.

Поглощение света

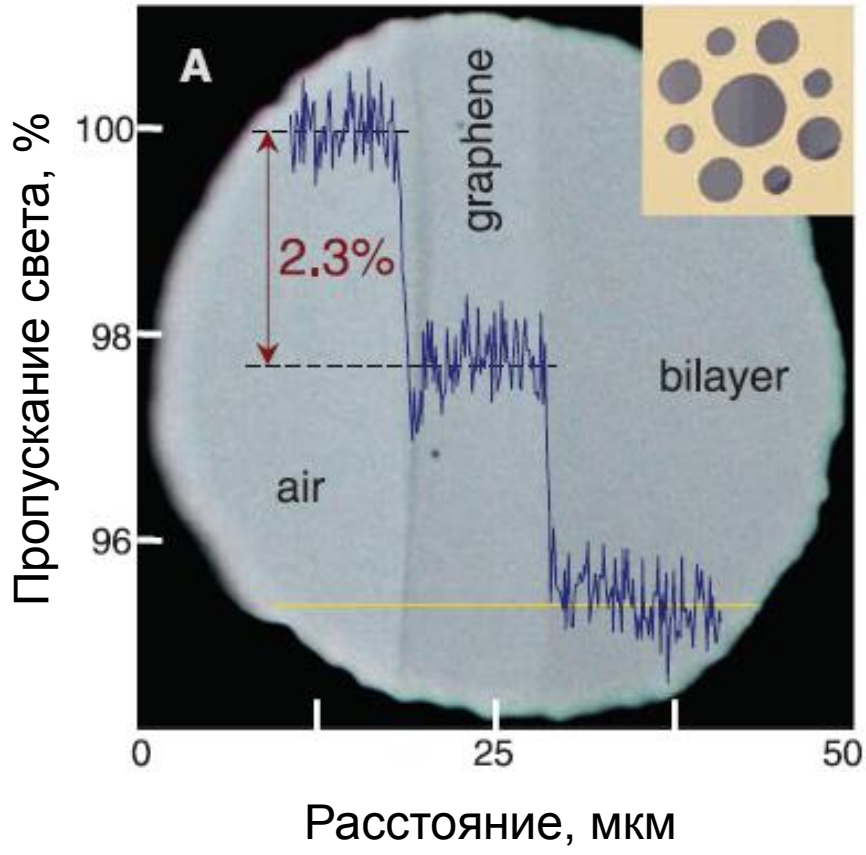


Закон Бугера-Ламберта

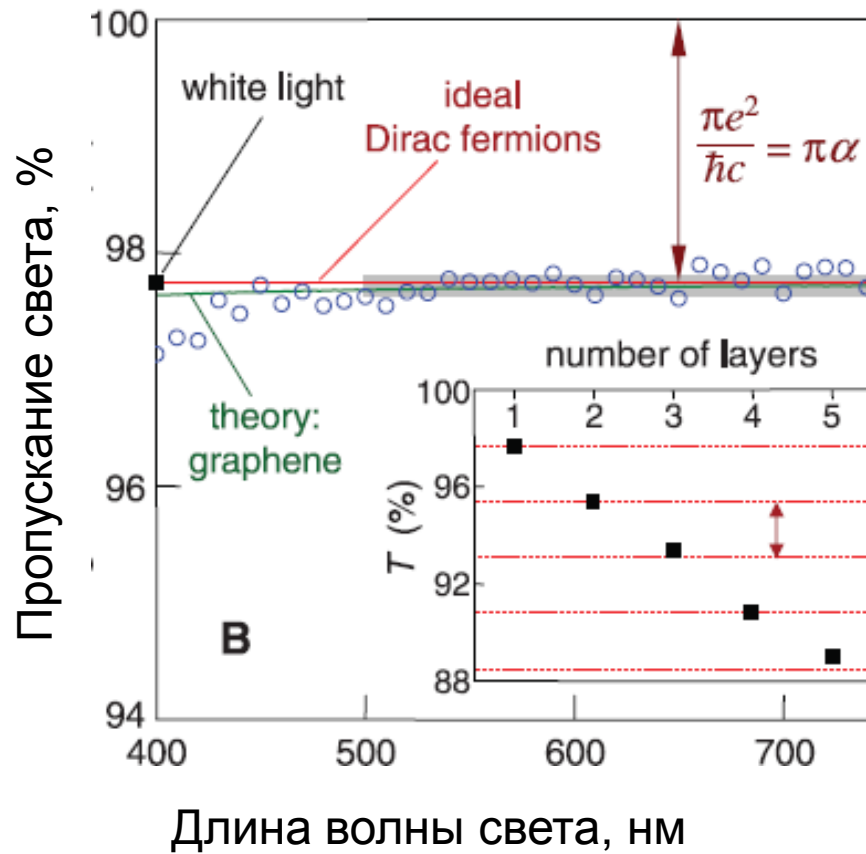
$$d \rightarrow 0; I \rightarrow I_0 \quad I = I_0 e^{-kd}$$

k – показатель поглощения

Поглощение света в моно-атомном графене

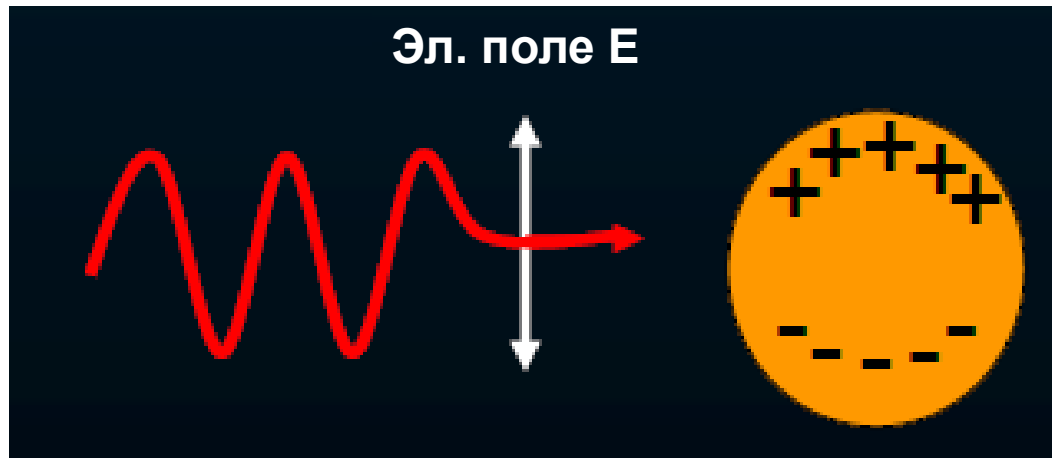


[Science, 2008, v. 320, p. 1308]

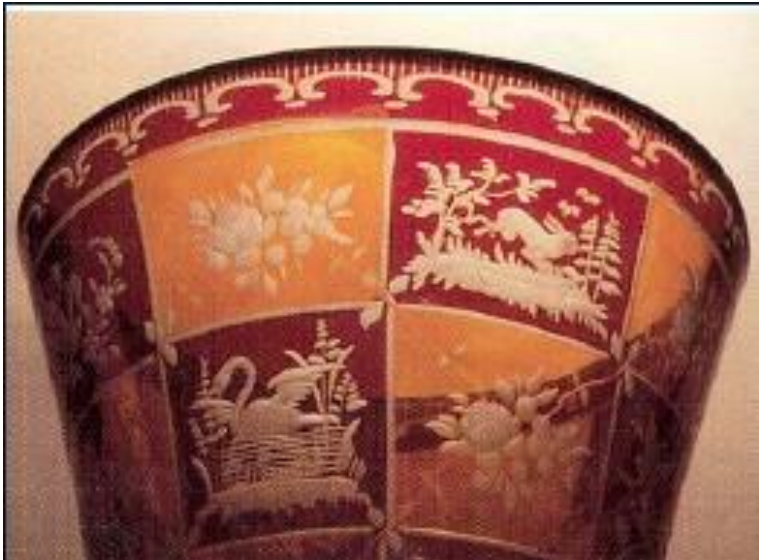


Благодаря уникальным электронным свойствам моноатомного слоя графена, поглощение света составляет около 2,3% на один слой.

Взаимодействие света с наночастицами



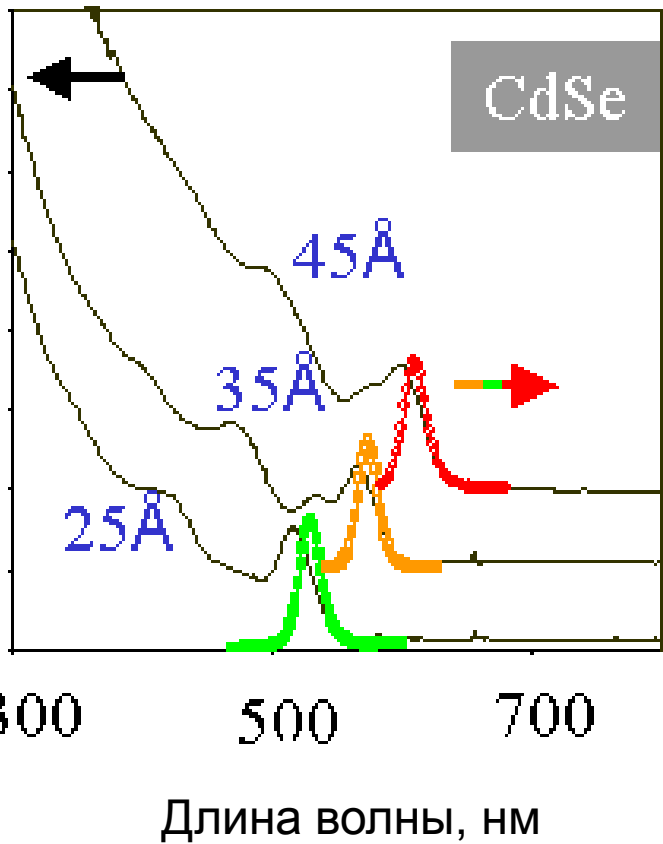
Поглощение увеличивается, для длин волн соразмерных с величиной наночастиц.



Окраска стекла обусловлена поглощением света в коротковолновом диапазоне наноразмерными частицами металла: красный цвет определяется присутствием наноразмерных частиц золота, желтый – серебра.

Оптические свойства наночастиц

Поглощение, усл. ед.

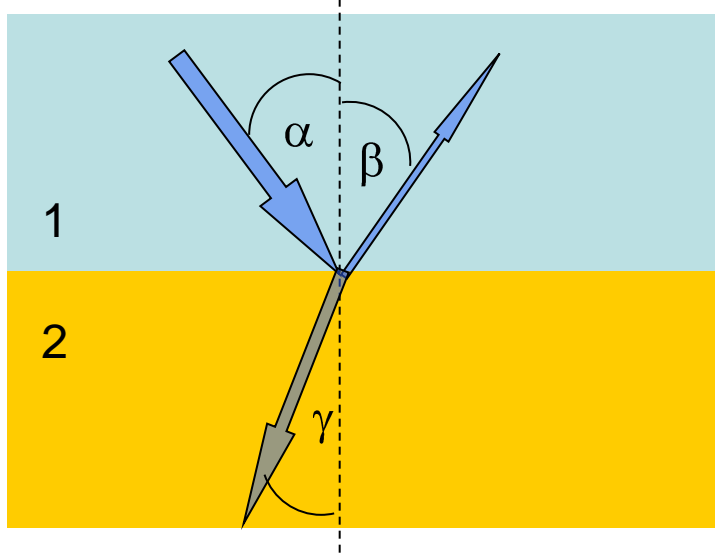
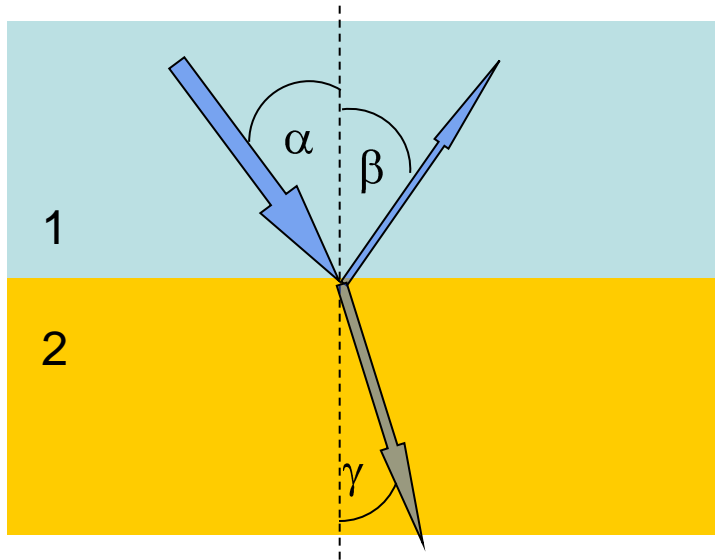


Интенсивность
люминесценции, усл. ед.



Спектры поглощения
наноразмерных металлов и
полупроводников сильно
изменяются с размером частиц.

Отрицательный показатель преломления



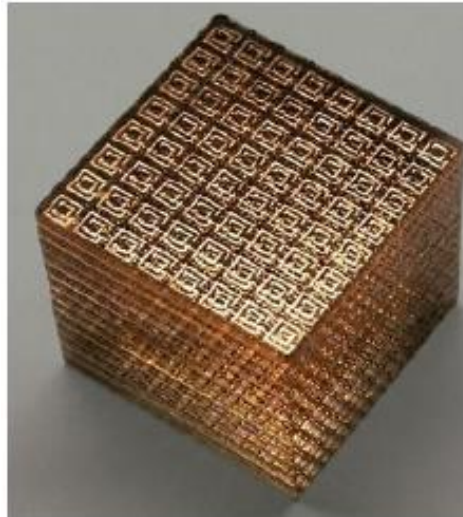
$$\angle \alpha = \angle \beta$$

$$\frac{\sin \alpha}{\sin \gamma} = n_{12} = \sqrt{\frac{\epsilon_2 \mu_2}{\epsilon_1 \mu_1}} > 0$$

$$n^2 = \epsilon \mu$$

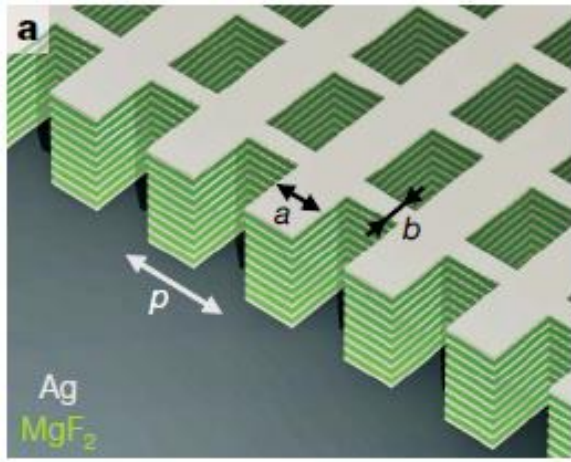
$$n = \pm \sqrt{\epsilon \mu}$$

$$\frac{\sin \alpha}{\sin \gamma} = n_{12} = \sqrt{\frac{\epsilon_2 \mu_2}{\epsilon_1 \mu_1}} < 0$$



Метаматериалы с отрицательным показателем преломления в диапазоне СВЧ радиоволн.

[Science, 2001, v. 292, p. 77;
PRL, 2000; Physics Today, 2003]



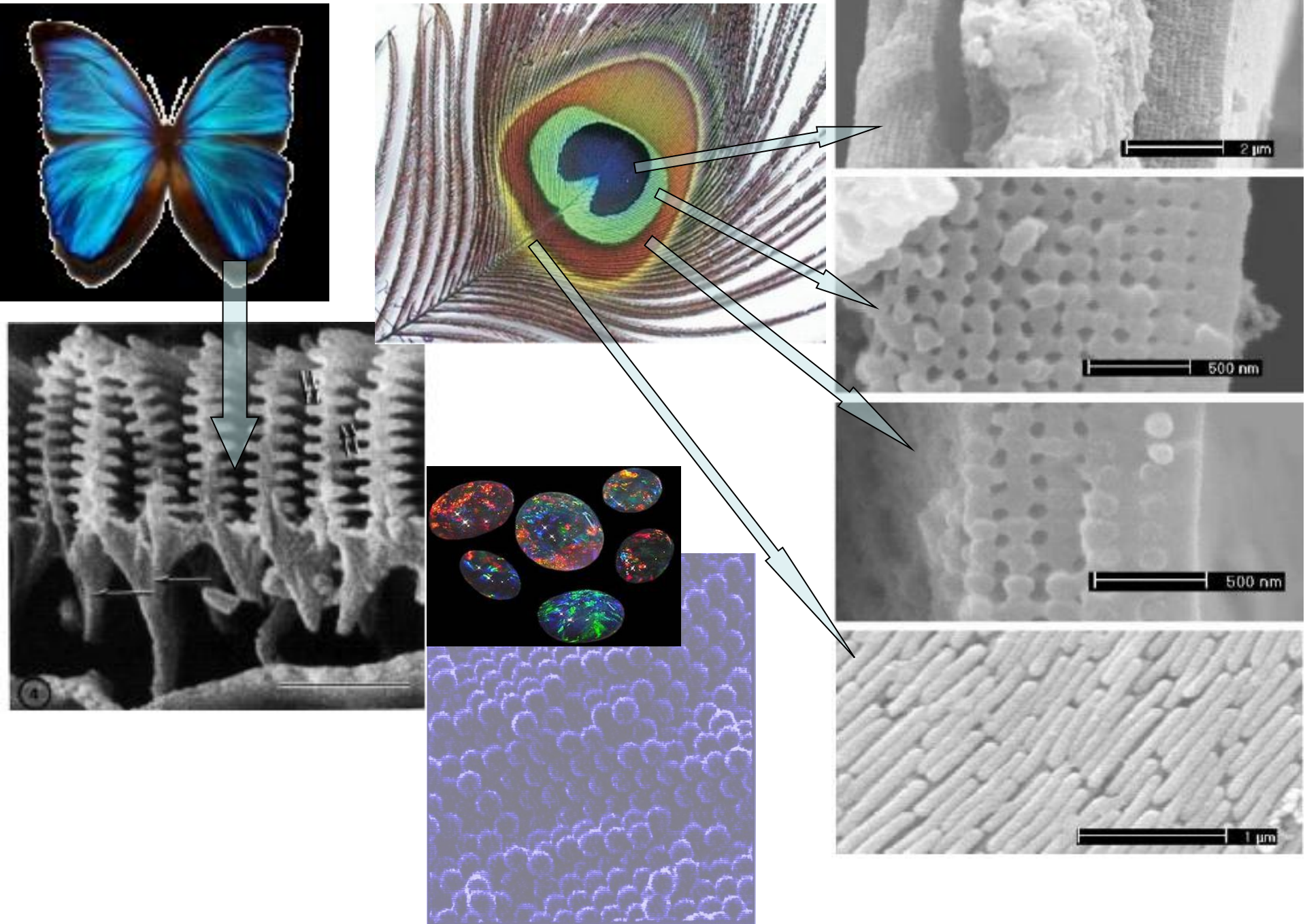
«Среда» с отрицательным показателем преломления в оптическом диапазоне.

[Nature, 2008, v.455, p. 376]

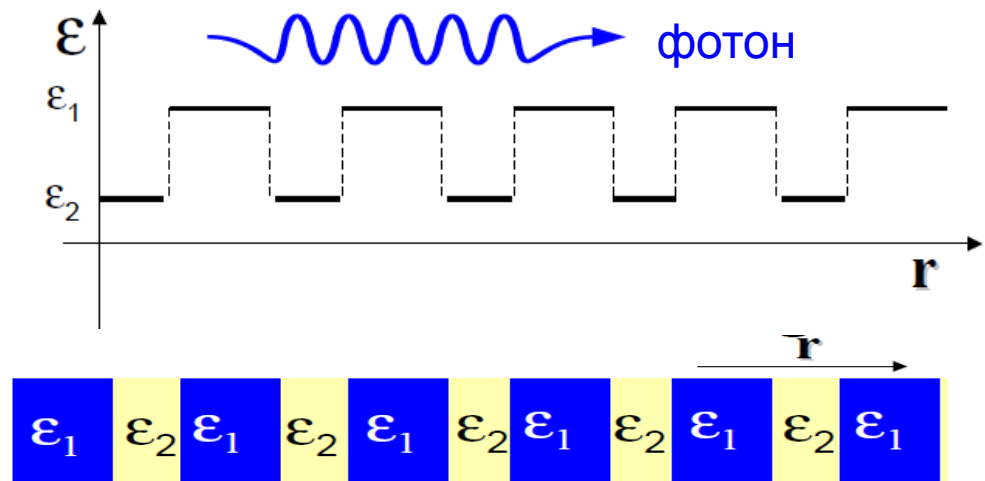
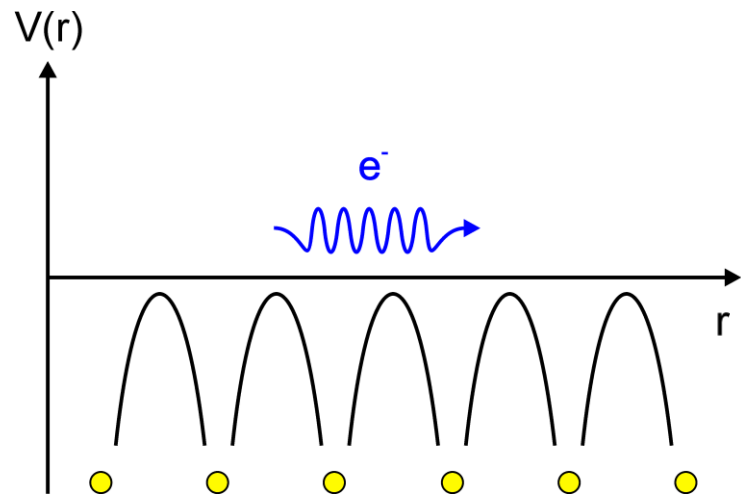
Схема и электронно-микроскопическое изображение среды с отрицательным показателем преломления в ИК диапазоне в виде ячеистого материала, состоящего из 21 слоя переменного состава (30 нм Ag и 50 нм MgF₂). Размер ячеек $a=565$ нм; $b=265$ нм.

Показатель преломления такой среды изменяется от $n=0,63 \pm 0,05$ нм для $\lambda=1200$ нм до $n=-1,23 \pm 0,34$ нм для $\lambda=1775$ нм.

Фотонные кристаллы



Механизм формирования фотонной зонной структуры



$$\nabla^2 \Psi + \frac{2m}{\hbar^2} (E - V(r)) \Psi = 0$$

Уравнение Шредингера

$$\nabla^2 \vec{E} + \epsilon(\vec{r}) \frac{\omega^2}{c^2} \vec{E} = 0$$

Волновое уравнение

Механизм формирования электронной зонной структуры

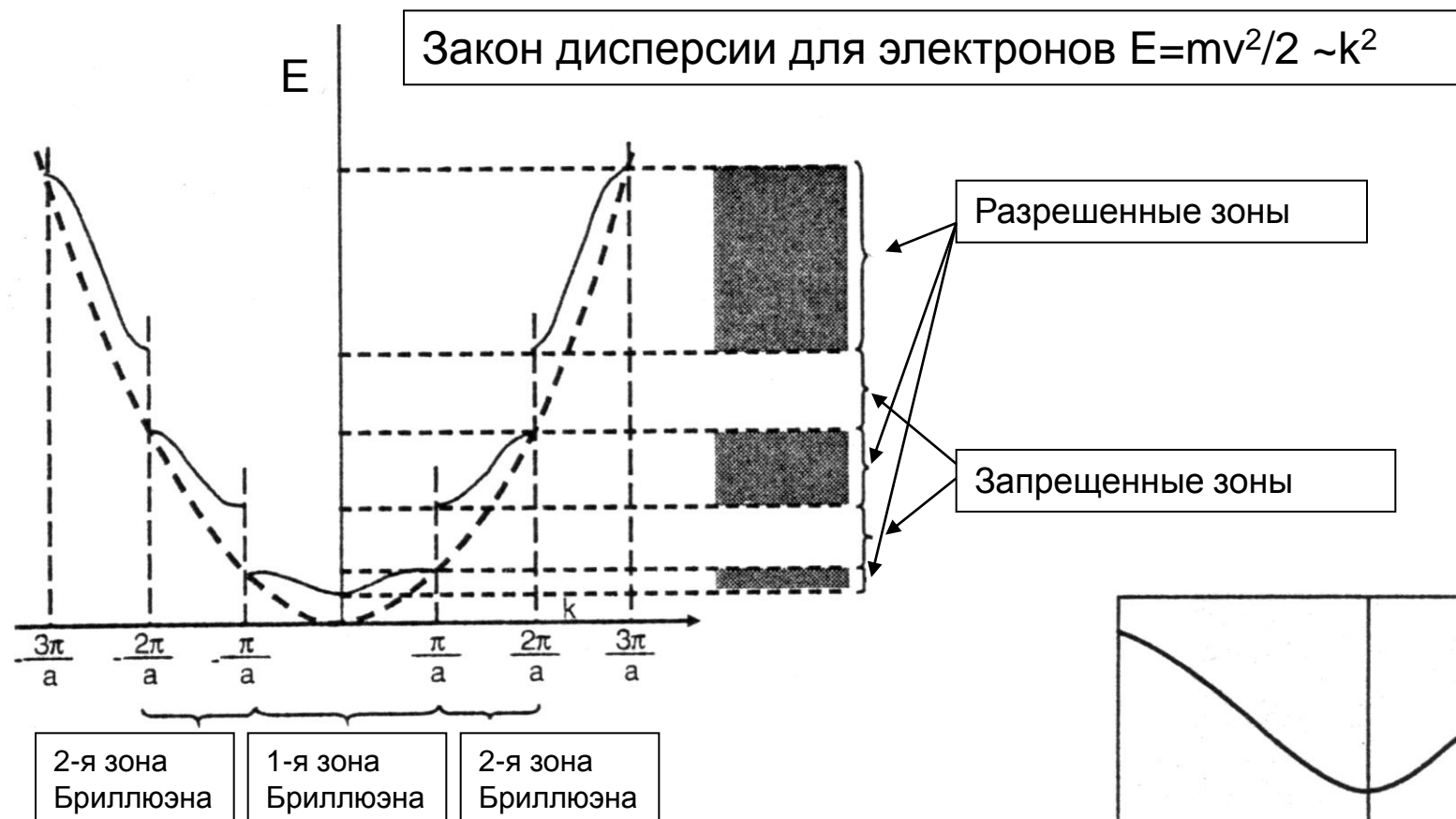
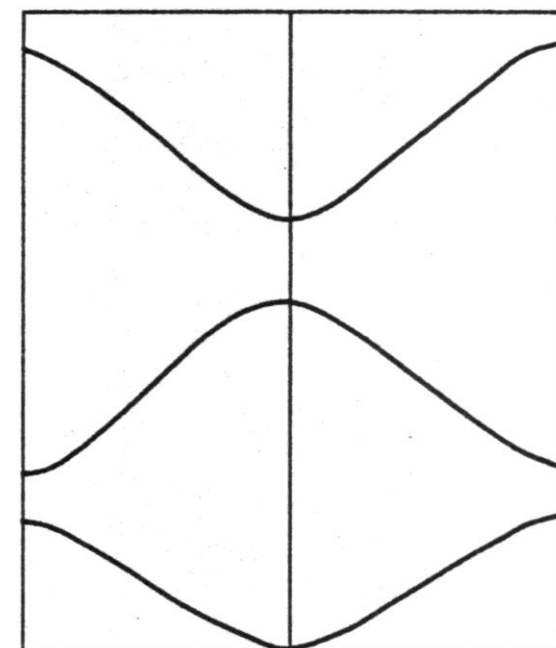
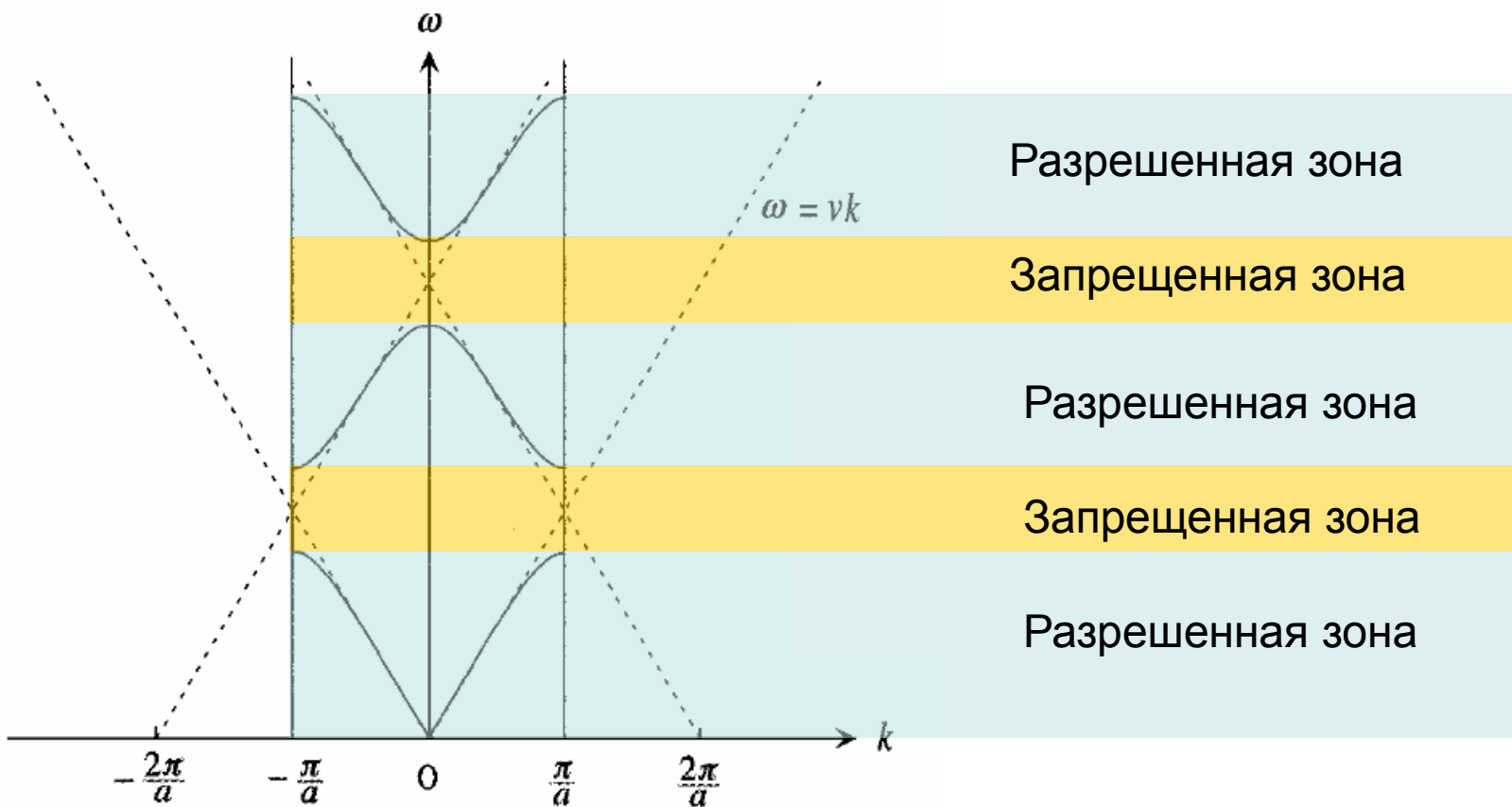


Схема «приведенных» зон



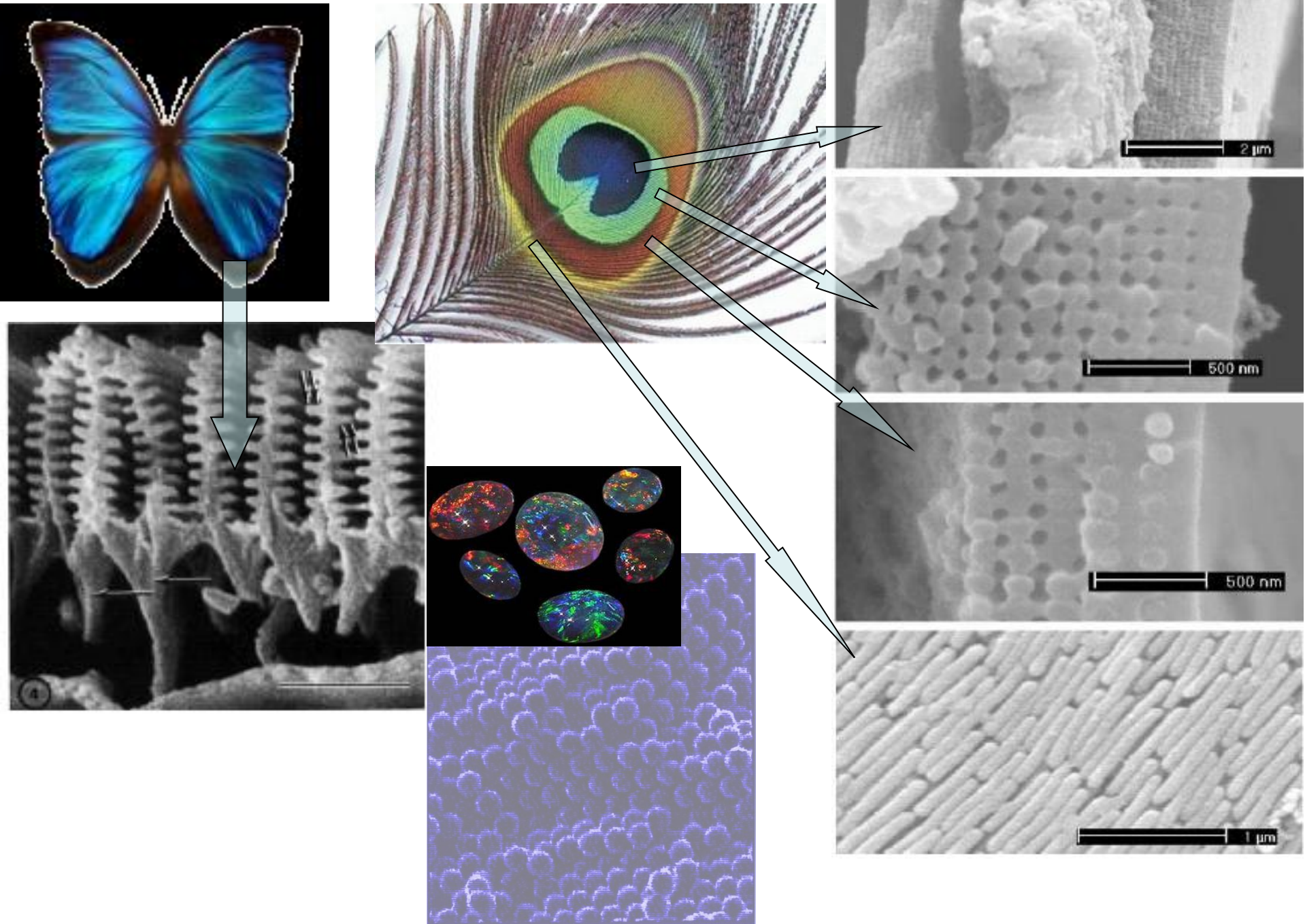
Механизм формирования фотонной зонной структуры

Закон дисперсии для фотонов $E = \hbar\omega \sim k$

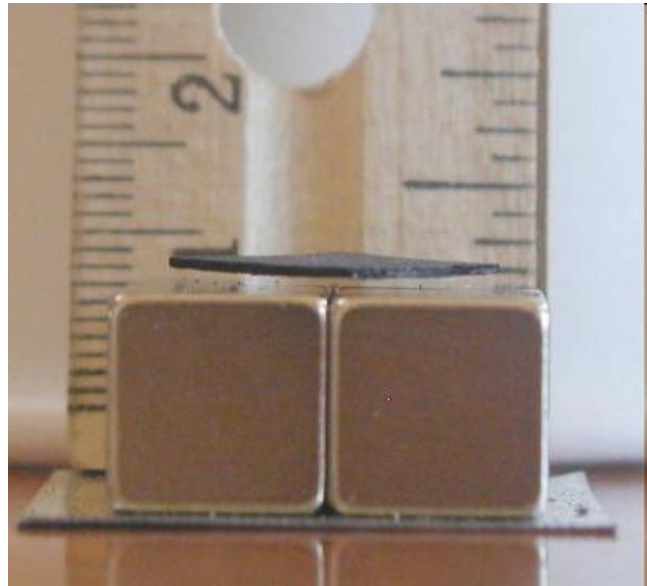


Фотоны с длиной волны, соответствующей запрещенной зоне не могут распространяться в материале фотонного кристалла, который выглядит в результате этого окрашенным при освещении белым светом.

Фотонные кристаллы



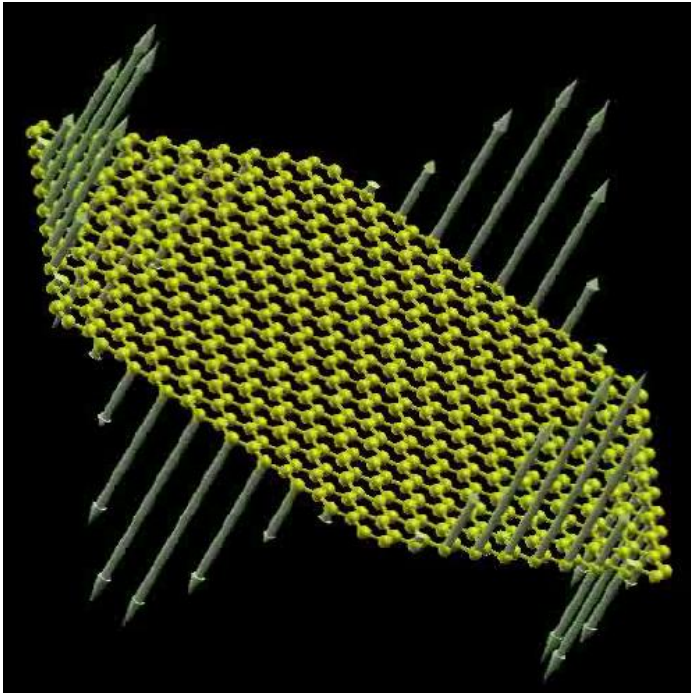
Магнитные свойства



Пиролитический графит имеет ярко выраженные диамагнитные свойства.

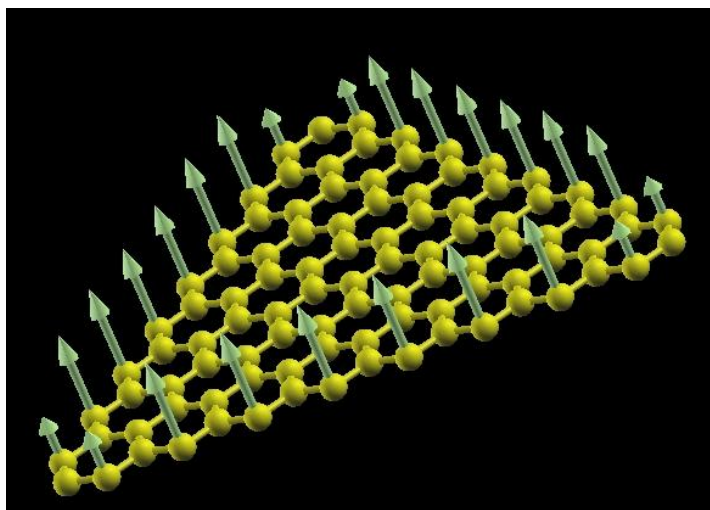
В частности это проявляется в эффекте левитации, наблюдаемом при комнатной температуре в достаточно сильных магнитных полях.

Диамагнитные свойства присущи всем веществам в отличие от ферромагнетизма, обусловленного наличием магнитного момента у атомов, составляющих вещество.



Обрыв электронных связей атомов, расположенных на границах фрагмента графена определенной формы (треугольники шестиугранники и т.п.) с зигзагообразной формой приводит к появлению магнитного момента из-за нескомпенсированного спина электронов.

Благодаря этому такие наноразмерные фрагменты треугольной формы имеют отличный от нуля магнитный момент. Фрагменты гексагональной формы имеют нулевой момент со спинами, направленными в противоположные стороны на противоположных сторонах гексагона.



[PRL 99, 177204 (2007)]

[www.ua.es/personal/jfrossier/]

1. В окружающем нас мире находится достаточно большое количество объектов природного происхождения, соответствующих принятым определениям для наноматериалов, наносистем, наноустройств и нанотехнологий. В практическом использовании имеются также объекты, созданные искусственным способом с использованием традиционных технологий, которые могут быть отнесены к наноматериалам, наносистемам и наноустройствам.
2. Физическое взаимодействие между материальными объектами, относящимися к наноматериалам, наносистемам и наноустройствам, в большинстве случаев имеет электромагнитную (электростатическую) природу.
3. Механика нанообъектов определяется близкодействующим взаимодействием Ван-дер-Ваальса.
4. Наряду с гармоническими колебательными возмущениями в наномире существенную роль имеют различные негармонические колебательные процессы.
5. Распространение электромагнитных волн (света) и взаимодействие с магнитным полем имеет в наноструктурированных материалах существенные отличия по сравнению с аналогичными характеристиками макроскопически однородных материальных сред.